

**ELEKTRONIKA RECLOSER  
BERBASIS MIKROKONTROLER AT89C51**

**TUGAS AKHIR**

Diajukan Sebagai Salah Satu Syarat  
Memperoleh Gelar Sarjana Teknik Elektro



Oleh :

Nama : Pebriansyah

No. Mhs : 01 524 088

**JURUSAN TEKNIK ELEKTRO  
FAKULTAS TEKNOLOGI INDUSTRI  
UNIVERSITAS ISLAM INDONESIA  
JOGJAKARTA  
2005**

# **LEMBAR PENGESAHAN PEMBIMBING**

## **ELEKTRONIKA RECLOSER**

### **BERBASIS MIKROKONTROLER AT89C51**

#### **TUGAS AKHIR**

Oleh:

Nama : Pebriansyah

No Mahasiswa : 01 524 088

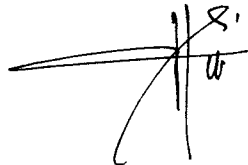
Yogyakarta, Agustus 2005

Pembimbing I



Wahyudi Budi Pramono, ST

Pembimbing II



Medilla Kusriyanto, ST

# **LEMBAR PENGESAHAN PENGUJI**

## **ELEKTRONIKA RECLOSER BERBASIS MIKROKONTROLER AT89C51**

### **TUGAS AKHIR**

Oleh:

Nama : Pebriansyah

No Mahasiswa: 01 524 088

Telah Dipertahankan di Depan Sidang Penguji sebagai Salah Satu Syarat  
untuk Memperoleh Gelar Sarjana Teknik Elektro  
Fakultas Teknologi Industri Universitas Islam Indonesia.

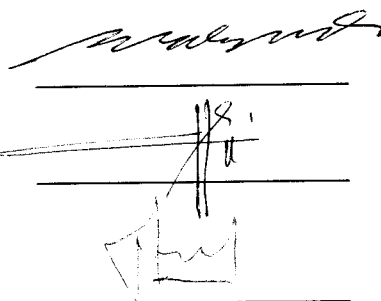
Yogyakarta, Agustus 2005

Tim penguji

Wahyudi Budi Pramono, ST  
Ketua

Medilla Kusriyanto, ST  
Anggota I

Tito Yuwono, ST  
Anggota II

  
\_\_\_\_\_  
\_\_\_\_\_  
\_\_\_\_\_

Mengetahui :  
Dekan Fakultas Teknologi Industri  
Universitas Islam Indonesia



## **ABSTRAKSI**

Manusia selalu menginginkan hal baru untuk mempermudah aktifitasnya. Mereka memodifikasi peralatan-peralatan yang telah ada agar mempunyai fungsi lain. Elektronika Recloser merupakan salah satu alat pengaman jala-jala listrik yang dimodifikasi agar dapat berfungsi sebagai pengaman otomatis, saat arus bernilai 1,8 Ampere. Elektronika Recloser ini dirancang menggunakan mikrokontroler AT89C51. Sistem recloser ini menggunakan belitan untuk mendeteksi arus yang lewat pada jala-jala listrik dan bekerja medeteksi arus secara terus menerus. Sistem kerja alat ini adalah memutuskan hubungan listrik apabila arus yang lewat pada kawat bernilai maksimum 1,8 Ampere. Pada saat arus mencapai 1,8 Ampere posisi recloser akan memutuskan arus, kemudian recloser akan kembali melewatkam arus dengan *interval* 30 detik, setelah kawat tersebut terhubung, maka recloser akan mengecek kembali nilai arus pada kawat dan seterusnya sebanyak siklus 3 kali. Setelah 3 kali, recloser tersebut akan memutuskan arus selamanya, sampai recloser tersebut direset kembali. Alat tersebut tidak dapat berfungsi sebagai pengaman hubung singkat antar fasa dan netral. Untuk mengetahui besar arus yang lewat pada jalur listrik maka diberikan tampilan LCD (*Liquid Crystal Display*).

## MOTTO

"Pantang menyerah sebelum tercapai puncak idaman"

Allah mengangkat derajat orang-orang yang beriman dan para cendekiawan diantaramu dengan beberapa derajat....  
(Al Mujadalah:11)

Siapa saja yang menduga bahwa apabila seseorang mencerahkan tenaganya untuk mencapai tujuan, berarti dia tertolong. Barangsiapa yang menduga tanpa jerih payah ia akan mencapai tujuannya, berarti ia hanya berangan-angan. Maka perbaikilah pekerjaanmu niscaya doamu dikabulkan.  
(HR Thabranī)

Orang yang pesimis melihat kesukaran dibalik kesempatan, sedangkan orang yang optimis melihat kesempatan disetiap kesukaran.

(Sir Winston Churchill)

Gunakan otakmu untuk berpikir, bukan sebagai gudang fakta.  
(Albert Einstein)

Ilmu adalah lebih utama daripada harta. Ilmu menjagamu, sedangkan kau harus menjaga hartamu. Harta akan berkurang bila kau nafkahkan, sedang ilmu akan bertambah subur bila kau nafkahkan.

(Ali bin Abi Tholib)

## **PERSEMPAHAN**

AYAH DAN BUNDA TERCINTA

KEDUA KAKAKKU (RIA N' FITRA) DAN ADIKKU (TUSDA)

SOHIBKU (ADANK, GOSON, FARID, BABE)

HIMPUNAN MAHASISWA TEKNIK ELEKTRO  
FTI-UII

## KATA PENGANTAR

Alhamdulillah, Puji syukur kepada Allah Tuhan semesta alam. Yang Maha Pengasih yang kasih-Nya tak pernah pilih kasih serta Maha Penyayang yang sayang-Nya tak pernah terbilang. Ucapan syukur kehadirat-Nya akhirnya Penulis dapat menyelesaikan Tugas Akhir ini sebagai syarat akhir untuk meraih gelar Sarjana Teknik di jurusan Teknik Elektro Universitas Islam Indonesia. Sholawat serta salam Penulis haturkan kepada junjungan umat, nabi penutup para nabi, rasul penutup para rasul, Muhammad SAW beserta keluarganya, sahabatnya, dan semua umatnya yang tetap sedia menjalankan ajaran Islam. Semoga kita termasuk di dalamnya. Amin.

Tugas Akhir ini adalah satu langkah dari sekian ribu langkah menuju kesempurnaan maka dari itu sangat diharapkan ada rekan-rekan Penulis yang meneruskan apa yang sudah Penulis lakukan hingga tahap ini.

Dengan berakhirnya Tugas Akhir ini, maka pada kesempatan ini ijinkanlah Penulis mengucapkan terima kasih banyak kepada:

1. Bapak Ir. H. Bachrun Sutrisno, M.Sc., selaku Dekan Fakultas Teknologi Industri, Universitas Islam Indonesia.
2. Ibu Ir. Hj. Budi Astuti, selaku Ketua Jurusan Teknik Elektro Universitas Islam Indonesia.
3. Bapak Wahyudi Budi Pramono, ST selaku Dosen Pembimbing I Tugas Akhir.

4. Bapak Medilla Kusriyanto, ST selaku Dosen Pembimbing II Tugas Akhir.
5. Bapak Tito Yuwono, ST selaku Dosen Pengaji Tugas Akhir.
6. Segenap Dosen Fakultas Teknologi Industri Universitas Islam Indonesia umumnya dan khususnya Dosen Jurusan Teknik Elektro yang telah memberikan ilmunya.
7. Bapak dan Ibuku yang telah memberikan segala dukungan terbesar bagi Penulis.
8. Saudara-saudaraku Fitra, Tusda, Ujang, Firman, Eko, dan Lalit, serta Oom Arpi sekeluarga yang telah memberikan segala bantuan. Special Thanks To Mbakku Ria yang telah memberikan bantuan spirituul maupun materil kepada adikmu ini.
9. Himpunan Mahasiswa Teknik Elektro FTI UII, yang telah memberikan banyak pengalaman kepadaku tentang kehidupan.
10. Teman-teman seperjuangan (Adank, Gogon, Farid, Babe, Ndok, Mimink, dan angkatan '01 lainnya yang tidak dapat saya subutkan satu persatu), thanks.
11. Segala pihak yang mendukung terselesaikannya Tugas Akhir hingga tersusunnya laporan ini. (Hanya tulisan ini yang dapat aku persembahkan untuk kalian)

Tugas Akhir ini masih jauh dari sempurna, walaupun Penulis sudah berusaha semaksimal mungkin untuk mendekati sempurna. Mohon kritik dan

saran yang mendukung kepada semua pihak yang membaca Laporan Tugas Akhir ini.

Akhir kata, semoga Pembaca bisa mendapat serta menyebarkan hal-hal yang bermanfaat pada Laporan Tugas Akhir ini. Apabila ada kesalahan, semata-mata kekhilafan Penulis, sedangkan kebenaran semuanya hanyalah milik ALLAH SWT.

Yogyakarta, Agustus 2005

Penulis

# TAKARIR

## **ADC (Analog to Digital Converter)**

Piranti yang dapat mengubah besaran analog menjadi besaran digital

## **Akumulator**

Register yang digunakan untuk menyimpan semua proses aritmatika

## **Atmel**

Sebuah perusahaan pembuat *flash memory* beraristektural MCS51

## **Bit**

Bit adalah ukuran terkecil data digital. Bit biasanya hanyalah merupakan pilihan antara 0 dan 1. Dimana 0 biasanya berarti 'Off' dan 1 berarti 'On'.

## **Byte**

*Byte* adalah merupakan kumpulan beberapa bit (1 *Byte* = 8 bit)

## **Chip**

Sebuah kepingan IC

## **Clock**

Sinyal kotak untuk menentukan kecepatan kerja dari perangkat digital

## **Digital**

Data dalam bentuk angka 0 dan 1

## **DPTR (Data Pointer)**

Register 16 bit mikrokontroler. Register ini juga berfungsi sebagai register penunjuk alamat

## **Small Device C Compiler (SDCC)**

Software untuk penulisan program menggunakan bahasa C

## **Emulator**

*Software* untuk simulator perangkat keras

## **Ground**

Titik referensi tegangan biasanya untuk menentukan 0 V

## **Heksadesimal**

Penulisan angka dalam format 16-an

## **IC (*Integrated Circuit*)**

Sebuah alat yang didalamnya terdapat rangkaian elektronis dengan fungsi tertentu

## **Input**

Masukan bagi alat atau sistem

## **Interupsi**

Sela atau pemberhentian sesuatu untuk sementara waktu

## **Konversi**

Proses perubahan dari suatu besaran tertentu menjadi besaran yang lain

## **MCS51**

Keluarga mikrokontroler Atmel AT89xx

## **MHz (*Mega Hertz*)**

Jutaan gerak per detik

**Mikrokontroler**

Sebuah alat atau IC kecil yang dapat digunakan untuk mengendalikan sebuah system

**Multiplexer**

Sebuah sistem yang memiliki beberapa masukan dengan 1 keluaran

**Output**

Keluaran dari alat atau system

**Port**

Sebuah jalur atau pintu yang dapat digunakan sebagai masukan atau keluaran

**RAM (*Random Access Memory*)**

Memori yang dapat diolah secara acak, biasanya digunakan sebagai penyimpan data untuk sementara waktu

**Register**

Sebuah kumpulan data digital dalam mikrokontroler, dapat digunakan untuk mengatur atau melihat keadaan mikrokontroler

**RST (Reset)**

Keadaan awal dari sistem

**ROM (*Read Only Memory*)**

Memori yang hanya dapat dibaca, biasanya digunakan untuk menyimpan data program yang akan dijalankan pada mikrokontroler

**SFR (*Special Function Register*)**

Merupakan register yang memiliki fungsi-fungsi khusus

**SPI (*Serial Peripheral Interface*)**

Antar muka untuk pemrograman serial

**Software**

Perangkat lunak, buerupa pemrograman komputer

**Timer/Counter**

Aplikasi mikrokontroler untuk pewaktu dan pengitung yang dibedakan

dari pemberian input *clock*

**VCC**

Tegangan refefensi positif (+)

## DAFTAR ISI

	<b>Halaman</b>
<b>HALAMAN JUDUL</b>	i
<b>HALAMAN PENGESAHAN PEMBIMBING</b>	ii
<b>HALAMAN PENGESAHAN PENGUJI</b>	iii
<b>ABSTRAKSI</b>	iv
<b>HALAMAN MOTTO</b>	v
<b>HALAMAN PERSEMBAHAN</b>	vi
<b>KATA PENGANTAR</b>	vii
<b>TAKARIR</b>	x
<b>DAFTAR ISI</b>	xiv
<b>DAFTAR TABEL</b>	xviii
<b>DAFTAR GAMBAR</b>	xix
<b>BAB I PENDAHULUAN</b>	1
1.1. Latar Belakang Masalah	1
1.2. Rumusan Masalah	2
1.3. Tujuan Penelitian	2
1.4. Batasan Masalah	2
1.5. Sistematika Penulisan	3

<b>BAB II DASAR TEORI</b>	4
2.1. Sistem Kelistrikan dalam Instalasi	4
2.2. Sensor Trafo Arus	5
2.2.1. Trafo Arus	5
2.3. <i>Analog to Digital Converter</i> (ADC)	7
2.4. Mikrokontroler AT89C5	19
2.4.1 Konfigurasi pin AT89C51	11
2.4.2 Struktur Memori	14
2.4.2.1 RAM Internal	15
2.4.2.2 Register Fungsi Khusus ( <i>special function register</i> )	15
2.4.2.3 Fungsi SFR	16
2.4.3 Interupsi ( <i>Interrupt</i> )	19
2.4.3.1 Pengaktifan interupsi	19
2.4.3.2 Prioritas interupsi	20
2.4.3.3 Vektor interupsi	20
2.4.4 Pewaktu ( <i>timer</i> )	21
2.5. TRIAC	23
2.6. <i>Optocoupler</i>	24
2.7. LCD ( <i>Liquid Crystal Display</i> )	25
2.7.1. DDRAM ( <i>Display Data Random Acces Memory</i> )	27
2.7.2. CGRAM ( <i>Character Generator Random Acces Memory</i> )	27
2.7.3. CGRAM ( <i>Character Generator Read Only Memory</i> )	27
2.7.4. Konfigurasi Pin LCD M1632	29

2.7.5. Register	29
2.7.5.1 Register Perintah	30
2.7.5.2. Register Data	30
2.7.6. Penulisan Data ke Register Perintah dan Register Data	30
<b>BAB III PERANCANGAN ALAT</b>	31
3.1. Pendahuluan	31
3.2. Pendeteksi Arus	32
3.2.1. Sensor Arus	32
3.2.2. Rangkaian ADC 0804	34
3.3. Sistim Minimum	36
3.3.1. Mikrokontroller AT89C51	36
3.3.2. Rangkaian Clock	37
3.4. Rangkaian Penampil	38
3.5. Pemutus Arus	39
3.6. <i>Switch</i>	40
3.7. Perancangan Perangkat Lunak	41
<b>BAB IV ANALISIS DAN PENGAMATAN</b>	42
4.1. Pengujian Rangkaian Pendeteksi Arus	42
4.2. Pengujian Rangkaian <i>Analog to Digital Converter</i> (ADC)	49
4.3. Pengujian Rangkaian Mikrokontroler AT89C51	50
4.4. Pengujian Rangkaian Pemutus Arus	51
4.5. Pengujian Rangkaian Penampil	51
4.6. Pengujian Rangkaian Secara Keseluruhan	52

4.6.1. Pengujian Beban Berlebih	52
4.6.2. Pengujian Hubung Singkat	53
<b>BAB V KESIMPULAN DAN SARAN</b>	<b>54</b>
5.1. Kesimpulan	54
5.2. Saran	55
<b>DAFTAR PUSTAKA</b>	
<b>LAMPIRAN</b>	

## DAFTAR TABEL

	Halaman
Tabel 2.1 <i>Register Interrupt Enable (IE)</i>	19
Tabel 2.2 <i>Register Interrupt Priority (IP)</i>	20
Tabel 2.3 <i>Register Vektor pada saat Interupsi</i>	21
Tabel 2.4 Kombinasi operasi mode <i>timer 1</i> dan <i>timer 0</i>	22
Tabel 2.5 <i>Register Timer Mode Register (TMOD)</i>	22
Tabel 2.6 <i>Register Timer Control Register (TCON)</i>	22
Tabel 2.7. Konfigurasi Pin LCD M1632	29
Tabel 4. 1. Hasil Pengukuran Sisi Primer dan Sisi Sekunder Trafo Arus	44
Tabel 4. 2. Data hasil konversi ADC0804	50
Tabel 4. 3. Hasil Pengamatan Recloser	52

## DAFTAR GAMBAR

	<i>Halaman</i>
Gambar 2. 1. Gambaran Fluks pada Inti Trafo	5
Gambar 2. 2. Tampilan Pin ADC 0804	9
Gambar 2. 3. Rangkaian aplikasi ADC0804	9
Gambar 2. 4. Diagram blok mikrokontroler AT89C51	10
Gambar 2.5. Konfigurasi <i>Pin</i> Mikroprosessor AT89C51	11
Gambar 2.6 Konfigurasi TRIAC	23
Gambar 2.7 Referensi Sinyal Masukan dan Keluaran TRIAC	24
Gambar 2.8 <i>Optocoupler</i>	25
Gambar 2.9. Diagram Blok LCD M1632	26
Gambar 2.10. Alamat DDRAM M1632	27
Gambar 2.11. Pola Karakter CGROM	28
Gambar 3.1. Blok Diagram Alat Elektronika Recloser	32
Gambar 3. 2. Trafo Arus dan Rangkaian Penyearah	34
Gambar 3. 3. Hubungan ADC0804 ke Mikrokontroler	35
Gambar 3.4. Proses konversi ADC0804	35
Gambar 3.5. Rangkain Perencanaan Input/Output	37
Gambar 3.6. Rangkaian Clock	38
Gambar 3.7. Rangkaian Penampil	38
Gambar 3.8. Rangkaian Pemutus Arus	39

Gambar 3.9. Rangkaian Switch	40
Gambar 3.10. Flowchart Sub Rutin Ultrasonic	41
Gambar 4.1. Rangakaian Pendekripsi Arus	43
Gambar 4.2. Grafik Arus Sisi Primer dan Tegangan Sisi Sekunder	44
Gambar 4.3. Penyearah Jembatan	45
Gambar 4.4. Sinyal masukan dan keluaran penyearah gelombang penuh dengan 4 dioda	46
Gambar 4.5. Grafik hasil pengukuran dan perhitungan	48

## BAB I

### PENDAHULUAN

#### 1.1 Latar Belakang Masalah

Pembangunan tempat tinggal di Indonesia saat ini sangatlah pesat, contoh banyak sekali perumahan-perumahan sederhana yang cukup murah harganya. Ini juga berpengaruh terhadap pemakaian listrik oleh masyarakat yang sangat membutuhkan sumber listrik dalam beraktifitas sehari-hari, dan sebagai sarana untuk meringankan suatu pekerjaan rumah tangga, maupun alat-alat industri. Tapi tidak menyampingkan dari kebutuhan akan listrik, juga mengetahui bahaya yang disebabkan oleh listrik tersebut yang sangat merugikan penggunanya. Oleh karena itu, haruslah mengetahui akibat listrik, adalah sebagai berikut :

- a. Terjadinya kejut listrik arus yang berlebihan melalui tubuh akan dapat mengakibatkan kematian.
- b. Suhu tinggi yang dapat mengakibatkan luka bakar.
- c. Timbulnya api disebabkan oleh terjadinya hubung singkat antar fasa atau fasa dengan netral.
- d. Daya yang berlebihan terutama saat hubung singkat.

Dari beberapa akibat di atas, mungkin penulis akan memecahkan kendala tersebut. Penulis mencoba membuat alat elektronika untuk pengaman arus berlebih. Dan alat yang dihasilkan diberi nama “**ELEKTRONIKA RECLOSER BERBASIS MIKROKONTROLER AT89C51**”.

## 1.2 Rumusan Masalah

Dari latar belakang dan dasar pemikiran diatas dapat dirumuskan permasalahan sebagai berikut :

1. Bagaimana membuat suatu peralatan Elektronika Recloser yang praktis dan handal.
2. Bagaimana membuat alat pengaman yang mudah digunakan, tahan lama dan bermutu tinggi.

## 1.3 Tujuan Penelitian

Tujuan dari pembuatan peralatan sistem elektronika ini adalah untuk:

1. Melindungi suatu peralatan listrik yang harganya *relative* lebih mahal atau penting.
2. Sebagai pengaman terhadap keselamatan pekerja atau masyarakat yang ada disekitar listrik.

## 1.4 Batasan Masalah

Tugas akhir ini hanya membuat alat atau sistem pengaman jala-jala listrik sebagai :

1. Pengaman hantaran listrik terhadap beban lebih.
2. Arus Nominal  $I_n : 2A$
3. *Interval* : 30 sekon
4. *Reset Time* : 3x

Maka hanya membuat dalam alat dalam batasan tersebut dan sebagai patokan untuk membuat atau sistem pengaman instalasi listrik.

## **1.5 Sistematika Penulisan**

### **BAB I PENDAHULUAN**

Berisi tentang deskripsi umum isi tugas akhir yang meliputi latar belakang masalah, rumusan masalah, tujuan, batasan masalah, manfaat penyusunan tugas akhir dan sistematika penulisan.

### **BAB II DASAR TEORI**

Menguraikan tentang teori-teori yang menjadi acuan dalam pembuatan Tugas Akhir ini. Diantaranya adalah teori tentang Sensor Arus, ADC 0804, Mikrokontroler AT89C51, *Triac*, *Optocoupler*, LCD.

### **BAB III PERANCANGAN SISTEM**

Berisi tentang proses perancangan dan pembuatan sistem pengontrolan alat mulai dari diagram blok, prinsip kerja, serta pembahasan *software* sebagai otak system.

### **BAB IV PEMBAHASAN**

Berisi tentang pengukuran dan uji coba alat yang dijadikan proyek tugas akhir.

### **BAB V KESIMPULAN DAN SARAN**

Berisi tentang kesimpulan pembuatan proyek tugas akhir dan saran-saran.

## **BAB II**

### **DASAR TEORI**

#### **2.1 Sistem Kelistrikan dalam Instalasi**

Perkembangan system arus bolak-balik (a.c.sistim) dimulai di Amerika Serikat tahun 1885, ketika *George Westinghouse* membeli *patent-patent* Amerika yang meliputi system transmisi arus bolak-balik yang dikembangkan oleh *L. Gaulard* dan *J.D. Gibbs* dari Paris.

Instalasi listrik dibagi tiga golongan , yaitu:

1. Instalasi perumahan/ instalasi penerangan /instalasi cahaya
2. Instalasi pabrik/ instalasi tenaga
3. Instalasi tegangan tinggi

Yang dimaksud dengan instalai adalah pengalir, pesawat pengukur, penghubung, dan pesawat pembantu yang lain yang sifatnya tetap baik untuk pemberian tenaga maupun pemakain tenaga listrik.

Instalasi penerangan adalah termasuk instalasi listrik tegangan rendah, sedangkan instalasi tenaga/ instalasi pabrik, dapat merupakan intalasi tegangan rendah atau instalasi tegangan tinggi, tergantung pada tegangan kerja dari pdm sistem kerja tersebut. Menurut perjanjian yang ada dalam peraturan, tegangan rendah dimaksudkan tegangan listrik yang setingginya 300 volt, sedangkan untuk tegangan lebih dari 300 volt, di golongkan dalam tegangan tinggi. Sesungguhnya di dalam instalasi penerangan tidak hanya penerangan saja, tetapi sering juga

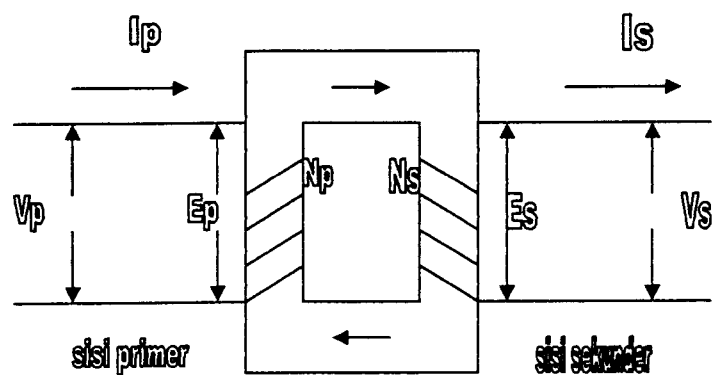
terdapat instalasi tangan seperti kipas angin, setrika listrik dan lain lain, tetapi dalam hal ini pemakaian tenaga dalam persentase yang kecil bila dibandingkan terhadap pemakaian penerangan.

## 2.2 Sensor Trafo Arus

Sensor Trafo Arus merupakan bagian dari sistem yang mengubah arus AC menjadi arus DC. Sensor ini digunakan untuk mendeteksi perubahan arus. Arus yang sudah dideteksi tersebut kemudian akan diubah kebentuk tegangan DC.

### 2.2.1 Trafo Arus

Trafo Arus adalah sensor arus yang mempunyai dua buah belitan yakni sisi primer dan sisi sekunder. Sisi primer dihubungkan serial ke sumber tegangan bolak balik maka akan timbul fluks pada inti trafo, dan ternyata fluks ini juga dilingkupi oleh belitan di sisi sekunder. Fluks ini disebut fluks bergandeng (“muatan fluks”). Bila sisi sekunder terhubung dengan beban sehingga merupakan rangkaian tertutup, maka akan ada arus yang mengalir pada sisi sekunder. Berarti ada energi listrik yang pindah dari sisi primer ke sekunder.



Gambar 2. 1. Gambaran fluks pada inti trafo

Besarnya perbandingan tegangan sisi primer ( $V_p$ ) dan tegangan sisi sekunder ( $V_s$ ) dari transformator ternyata harganya sama dengan perbandingan antara tegangan induksi primer ( $E_p$ ) dan tegangan induksi sekunder ( $E_s$ ). Harga ini disebut dengan perbandingan transformasi atau kostanta trafo, dan disimbolkan dengan  $a$ .

Perbandingan jumlah lilitan sisi primer dan lilitan sisi sekunder, pada trafo arus ialah:

Persamaan-persamaan tersebut antara lain:

Untuk trafo ideal berlaku persamaan:

Jika rugi-rugi trafo tidak diperhitungkan dan *efisiensi* dianggap 100%, maka:

Secara praktis faktor daya primer (PF1)= faktor daya sekunder (PF2), maka:

Atau

$$\frac{E_1}{E_2} = \frac{I_2}{I_1} = a \quad \dots \dots \dots \quad (2.6)$$

Dengan:  $I_1$  = sisi primer;  $I_2$  = sisi sekunder

### 2.3 ADC (*Analog to Digital Converter*)

Dalam dunia elektronika dikenal dua jenis rangkaian untuk menjembatani dunia Analog ke Digital, jenis pertama dikenal sebagai rangkaian konversi besaran digital ke analog (*Digital Analog Converter* disingkat sebagai DAC), yang kedua adalah rangkaian konversi besaran analog ke digital (*Analog Digital Converter* disingkat sebagai ADC).

Tegangan analog yang merupakan masukan dari ADC berasal dari tranduser. Tranduser inilah yang mengubah besaran kontinu seperti temperatur, tekanan, kecepatan, ataupun putaran motor menjadi tegangan listrik. Tegangan listrik yang dihasilkan oleh tranduser yang berubah secara kontinu pada suatu range tertentu disebut tegangan analog, dan tegangan analog ini diubah oleh ADC menjadi bentuk digital yang sebanding dengan tegangan analognya.

Ada 3 karakteristik yang perlu diperhatikan dalam pemilihan komponen ADC, antara lain :

#### 1. Resolusi

Resolusi merupakan spesifikasi terpenting pada rangkaian ADC, Resolusi merupakan besaran analog terkecil yang masih dapat dikonversi menjadi satuan digital. Resolusi dapat dirumuskan sebagai berikut:

$$Resolusi(r) = \left( \frac{1}{2^n - 1} \right) \cdot V_{ref} \quad (2.7)$$

Dimana : n adalah banyaknya bit ADC

V<sub>ref</sub> tegangan referensi yang digunakan

## 2. Akurasi

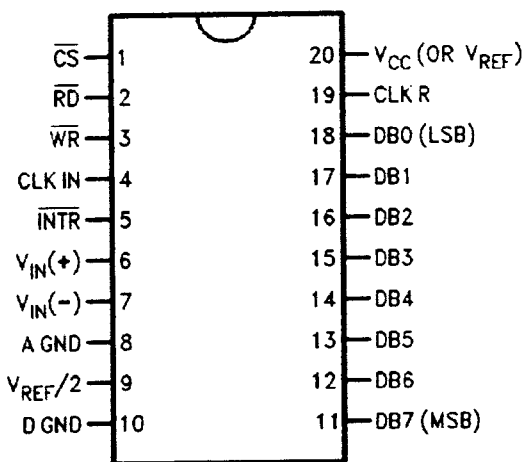
Adalah jumlah dari semua kesalahan, misalnya kesalahan non linieritas, skala penuh, skala nol dan lain-lain. Dapat juga menyatakan perbedaan antara tegangan input analog secara teoritis yang dibutuhkan untuk menghasilkan suatu kode biner tertentu terhadap tegangan input nyata yang menghasilkan tegangan kode biner tersebut.

## 3. Waktu konversi

Merupakan waktu yang dibutuhkan untuk mendigitalkan setiap sampel atau waktu yang diperlukan untuk menyelesaikan suatu konversi. Memiliki masukan analog 1 pin dan keluaran 8 pin, resolusi 8 bit dengan ketelitian +/- 1 angka LSB, tegangan *input* maksimum 5 volt, 3mA, tidak perlu pengatur tegangan nol dan tegangan maksimum, waktu ukur 100 mikro detik, frekuensi pulsa untuk kerja 10 sampai dengan 1280 kHz.

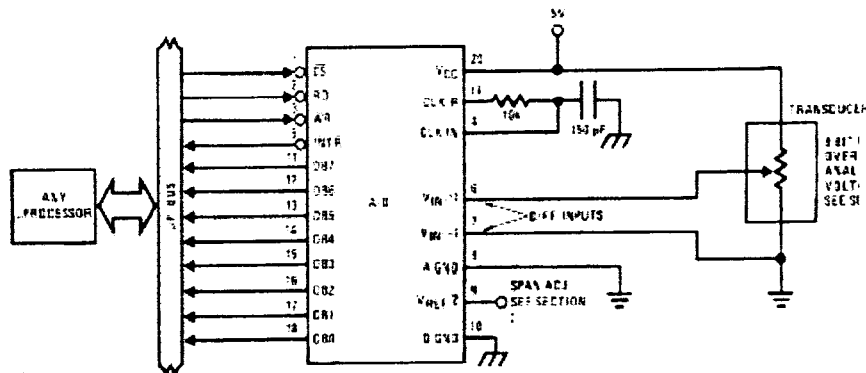
ADC ini menawarkan beberapa keistimewaan antara lain kecepatan tinggi dan konsumsi daya yang rendah. Karenanya ADC ini banyak digunakan pada proses kontrol peralatan elektronika.

Gambar 2.2 berikut ini menunjukkan tampilan pin ADC0804.



Gambar 2. 2. Tampilan Pin ADC 0804

Contoh aplikasi rangkaian ADC 0804 seperti pada gambar 2.3 berikut :



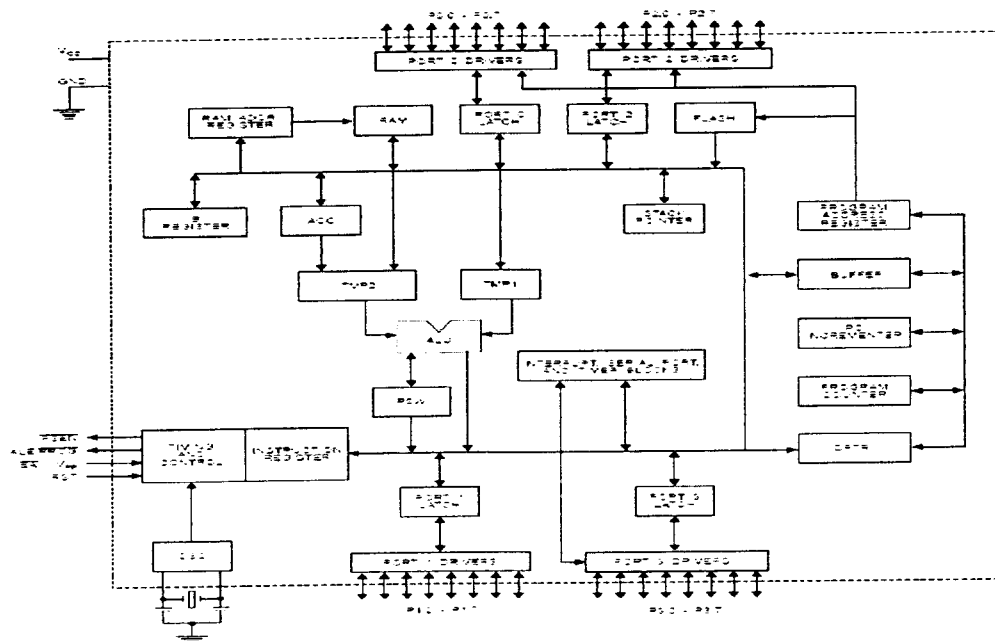
Gambar 2. 3. Rangkaian aplikasi ADC0804

## 2.4 MIKROKONTROLLER AT89C51

Mikrokontroller AT89C51 merupakan Mikroprosesor 8 bit CMOS yang membutuhkan daya rendah namun memiliki kinerja yang cukup handal. Mikrokontroller ini dilengkapi dengan 4 Kbyte Flash PEROM (*Programable Erasable Read Only*) sehingga program yang telah ditanam langsung kedalam mikrokontroller dapat dihapus dan ditulis ulang. Mikrokontroller flash AT89C51 memiliki ruang alamat dan memori data dan memori program yang terpisah.

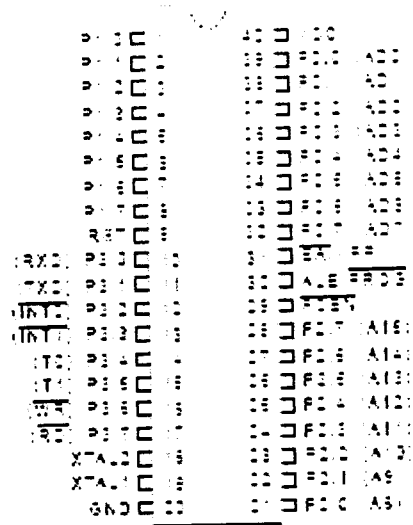
Pemisahan memori program dan data tersebut memperbolehkan memori data diakses dengan alamat 8 bit, sehingga dapat dengan cepat dan mudah disimpan serta dimanipulasi oleh CPU 8 bit. Mikrokontroller AT89C51 terdiri dari beberapa bagian yang berfungsi untuk mendukung pengendaliannya, bagiam-bagiannya sebagai berikut :

1. Kapasitas memori internal 4 kB (*flash* 4 kBytes)
2. 8x28 byte RAM (Random Acess Memory) internal
3. 32 jalur I/O yang dapat diprogram
4. 2 buah 16 bit pewaktu/pencacah (*timer/counter*)
5. *Serial port full duplex*
6. *Chip Oscilator* dan *clock*
7. 6 buah sumber *interupsi*
8. *Kompatibel* dengan semua produk MCS-51



Gambar 2. 4. Diagram blok mikrokontroler AT89C51

#### 2.4.1 Konfigurasi pin AT89C51



Gambar 2.5 Konfigurasi Pin Mikroprosessor AT89C51

Konfigurasi pin mikrokontroller AT89C51 terdiri atas :

1. Port 1, nomor pin 1 sampai dengan 8 (yang terdiri dari pin P1.0 sampai dengan P1.7)
- Port 1 berfungsi sebagai I/O biasa atau menerima low order address bytes selama pada saat flash programming. Port ini memiliki internal pull up dan berfungsi sebagai input dengan memberikan logika 1. Sebagai output port ini dapat memberikan output sink ke empat buah input TTL.*
2. Nomor pin 9 (RST)

Reset akan aktif dengan memberikan input high selama 2 siklus (cycle).

  3. Port 3,nomor pin 10 sampai dengan 17 (yang terdiri dari P3.0 sampai dengan P3.7)

Sebagai I/O biasa *port* 3 mempunyai sifat yang sama dengan *port* 1 maupun *port* 2, sedangkan sebagai fungsi spesial *port-port* ini mempunyai keterangan sebagai berikut :

*Pin* 10 (P3.0 atau RXD) sebagai *port serial input*.

*Pin* 11 (P3.1 atau TXD) sebagai *port serial output*.

*Pin* 12 (P3.2 atau INT0) sebagai *port external interrupt 0*.

*Pin* 13 (P3.3 atau INT1) sebagai *port external interrupt 1*.

*Pin* 14 (P3.4 atau T0) sebagai *port external timer 0 input*.

*Pin* 15 (P3.5 atau T1) sebagai *port external timer 1 input*.

*Pin* 16 (P3.6 atau WR) sebagai *port external data memory write strobe*.

*Pin* 17 (P3.7 atau RD) sebagai *port external data memory read strobe*.

4. Nomor *pin* 18 (XTAL2).

Sebagai *output* osilator.

5. Nomor *pin* 19 (XTAL1)]

Sebagai *input* osilator.

6. Nomor *pin* 20 (GND)

Berfungsi sebagai pentahanan (*ground*)

7. *Port* 2, nomor *pin* 21 sampai dengan 28 (yang terdiri atas P2.0 sampai dengan P2.7)

*Pin-pin* dapat juga berfungsi sebagai A8 s/d A15. *Port* 2 sebagai I/O biasa atau *high order address*, pada saat mengakses memori secara 16 bit. Pada saat mengakses memori secara 8 bit, *port* ini akan mengeluarkan isi dari P2 *special function register*. *Port* ini mempunyai *internal pull up* dan

berfungsi sebagai *input* dengan memberikan logika 1. Sebagai *output port* ini dapat memberikan *output sink* ke empat buah *input TTL*.

8. Nomor *pin* 29 (PSEN)

*Pin* ini berfungsi pada saat mengeksekusi program yang terletak pada memori eksternal. PSEN akan aktif 2 kali setiap siklus (*cycle*).

9. Nomor *pin* 30 (ALE)

*Pin* ini juga dapat sebagai alternatif PROG. *Pin* ini dapat berfungsi sebagai *Address Latch Enable* (ALE) yang *Me-latch low byte address* pada saat mengakses memori eksternal. Sedangkan pada saat *Flash Programming* (PROG) berfungsi sebagai *pulse input* untuk pada saat mengakses memori eksternal. Sinyal *clock* pada *pin* ini dapat pula di-disable dengan men-set bit 0 dari *Special Function register* (SFR) dialamat 8EH.

10. Nomor *pin* 31 (EA)

*Pin* ini dapat juga sebagai VP. Pada kondisi low maka *pin* ini akan berfungsi sebagai EA, yaitu mikrokontroller akan menjalankan program yang ada pada memori internal, dan pada saat *flash programming* *pin* ini akan mendapatkan tegangan 12 Volt (VP).

11. Nomor *pin* 32 s/d 39 (P0.0 s/d P0.7)

*Port* 0 dapat berfungsi sebagai I/O biasa, low order multiplex address data atau menerima kode byte pada saat *flash programming*. *Pin-pin* ini dapat berfungsi sebagai D0 s/d D7 & A0 s/d A7. Pada fungsi sebagai I/O biasa *port* ini dapat memberikan *output sink* ke 8 buah TTL *input* atau dapat diubah sebagai *input* dengan memberikan logika 1 pada *port*

tersebut. Pada fungsi sebagai *low order multiplex address / data point port* ini akan mempunyai *internal pull up*. Pada saat *flash programming* diperlukan eksternal *pull up* terutama pada saat verifikasi program.

12. Nomor pin 40 (VCC). Berfungsi sebagai sumber tegangan +5 Volt (*power supply*).

#### **2.4.2 Struktur Memori**

Mikrokontroller AT89C51 memiliki ruang alamat memori program (4 K *byte Flash programmable and erasable read only memory*) dan memori data yang terpisah. Pemisahan memori program ini memperbolehkan memori data diakses dengan alamat 8 bit, sehingga dapat dengan cepat dan mudah disimpan dan dimanipulasi oleh CPU 8-bit. Namun demikian, alamat memori data 16 bit dapat juga dihasilkan melalui *register DPTR.(Data Pointer)*.

##### **1. Memori Program**

Memori program adalah memori yang digunakan untuk menyimpan program *actual* mikrokontroller. Panjang memori maksimal mencapai 64 K*byte* dengan memori internal sebesar 4 K*byte*. Selain itu dimungkinkan untuk memiliki 4 K*byte* memori dalam *chip* dan 64 K*byte* diluar *Chip*.

##### **2. Memori Data.**

Memori data yang dimiliki AT89C51 sebanyak 128 *byte*. Memori internal terbagi dua bagian yaitu : internal RAM dan *Special Function Register* (SFR). AT89C51 mempunyai struktur atau organisasi memori yang terdiri beberapa bagian, bagian-bagian tersebut terdiri atas :

#### **2.4.2.1 RAM Internal**

RAM internal adalah memori sebesar 128 *byte* yang biasanya digunakan untuk menyimpan *variable* atau data yang bersifat sementara.

RAM internal juga terbagi dalam tiga bagian diantaranya :

##### *1. Register Bank*

*Register* ini mempunyai 8 buah *register* yang terdiri dari atas R0 hingga R7. Delapan buah *register* ini selalu terletak pada alamat 00H hingga 07H pada setiap kali sistem direset.

##### *2. Bit Addressable RAM*

Pengalaman bit (*Bit Addressable*) RAM pada alamat 20H hingga 2FH dan hanya dengan sebuah instruksi saja setiap bit dalam area ini dapat *set*, *clear*, AND dan OR. Dengan adanya sistem *bit addressable* RAM, proses yang seharusnya dijalankan dengan tiga siklus (*cycle*) dapat digantikan dengan sebuah instruksi yang hanya membutuhkan satu siklus saja.

##### *3. General Purpose RAM*

RAM untuk keperluan umum dapat diakses dengan pengalaman langsung maupun tak langsung.

#### **2.4.2.2 Register Fungsi Khusus (*special function register*)**

SFR adalah internal RAM yang menempati ruang memori mulai alamat 80H hingga FFH. Tidak semua alamat diimplementasikan sebagai SFR, namun dikelompokkan menjadi tiga macam :

### 1. SFR Port I/O

AT89C51 mempunyai 4 macam *port*, yaitu P0, P1, P2 dan P3. untuk memasukkan atau mengeluarkan data melalui *port* dapat dilakukan dengan menuliskan atau membaca ke masing-masing *register*.

### 2. SFR Kontrol

SFR ini berfungsi untuk mengontrol atau mengkonfigurasi beberapa aspek dari AT89C51.

### 3. SFR yang lainnya

SFR ini bersifat tidak langsung mengontrol AT89C51 tetapi tanpa SFR AT89C51 tidak dapat bekerja.  
Selain mempunyai *register-register* khusus AT89C51, juga mempunyai *register A* atau akumulator merupakan *register* umum untuk mengakumulasikan hasil dari instruksi-instruksi. *Akumulator* memiliki lebar 8 bit dan merupakan *register* penampung 8 bit tetapi terbatas hanya untuk instruksi perkalian (MUL) dan perintah pembagian (DIV). *Register R* memiliki 8 buah *register R* (R0-R7) yang tersimpan dalam 4 buah *bank*. Jadi total ada 32 buah *register R*. penggunaan *register R* pada *bank* yang mana diatur oleh *bit register selet (RS)*.

#### 2.4.2.3 Fungsi SFR

##### 1.SP (*Stack Pointer*, alamat 81H)

SFR ini menunjukkan lokasi yang akan dituliskan atau dibaca dari tumpukan (*stack*) pada RAM.

##### 2.DPL/DPH (*Data Pointer Low/High*, alamat 82H/83H)

SFR DPL dan DPH bekerja bersama-sama membentuk 16 bit yang dikenal dengan *Data Pointer* (DPTR). *Data Pointer* (DPTR) digunakan dalam operasi yang melibatkan memori eksternal.

### 3.PCON (Power Control, alamat 87H)

SFR ini digunakan untuk mengendalikan mode *power control*. Contohnya adalah pada mode “*sleep*” yang membutuhkan daya rendah.

### 4.TCON (*Timer Control*, alamat 88H, pengalamatan bit)

SFR ini digunakan untuk mengkonfigurasi dan memodifikasi operasi dua *timer* AT89C51.

### 5.TMOD (*Timer Mode*, alamat 89H)

SFR ini digunakan untuk mengkonfigurasi mode operasi setiap *timer*. Dengan SFR ini program dapat dimodifikasi *timer* sebagai *timer* 16-bit.

### 6.TL0/TH0 (*Timer 0 Low/High*, alamat 8AH/8Bh)

TL0/TH0 bersama-sama membentuk *timer* 0. *Timer* ini dikendalikan oleh TMOD, karena *timer* selalu menghitung naik (*up counter*).

### 7.TL1/TH1 (*Timer 1 Low/High*, alamat 8CH/8DH)

TL1 dan TH1 bersama-sama membentuk *Itimer* 1. *Timer* ini juga dikendalikan oleh TMOD.

### 8.SCON (*Serial Control*, alamat 98H, pengalamatan bit)

SFR ini digunakan untuk mengkonfigurasi keluaran *port serial* AT89C51 yang aktif menandakan pengiriman dan penerimaan data secara sukses.

#### 9. SBUF (*Serial Buffer*, alamat 99H)

*Serial buffer* digunakan untuk mengirim maupun menerima data melalui *port serial*. Data yang dituliskan pada SBUF akan dikirim melalui *pin TXD*, sedangkan data yang diterima melalui RXD akan disampaikan ke SBUF.

#### 10. IE (*Interrupt Enable*, alamat A8H)

SFR ini digunakan untuk mengaktifkan atau menonaktifkan *interrupt* tertentu. Bit-7 digunakan untuk mengaktifkan atau menonaktifkan semua *interrupt*.

#### 11. IP (*Interrupt Priority*, alamat B8H)

SFR ini digunakan untuk mengatur prioritas interupt satu terhadap yang lainnya. Prioritas rendah dinyatakan dengan logika 0 dan prioritas tinggi dinyatakan dengan logika 1.

#### 12. PSW (*Program Status Word*, alamat D0H)

SFR ini digunakan untuk menyimpan bilangan dari bit-bit yang penting yang akan *diset* maupun *diclear* oleh intruksi AT89C51.

#### 13. ACC (*Accumulator*, alamat E0H)

*Accumulator* adalah SFR yang banyak digunakan dalam intruksi diantaranya adalah operasi aritmatika., pengaksesan eksternal RAM dan lain-lain

#### 14. B (*Register B*, alamat F0H)

*Register B* digunakan dalam instruksi dan pembagian. *Register* ini juga dapat digunakan sebagai *register temporary*.

### 2.4.3 Interupsi (*Interrupt*)

Interupsi adalah suatu kejadian atau peristiwa yang menyebabkan berhenti jalannya program sejenak, yang sedang berjalan untuk melayani interupsi tersebut. Setelah melayani interupsi maka program yang dihentikan tadi akan dilanjutkan kembali secara normal. AT89C51 menyediakan 5 sumber interupsi, yaitu: 2 interupsi eksternal, 2 interupsi pewaktu dan sebuah interupsi *serial*.

#### 2.4.3.1 Pengaktifan interupsi

Interupsi dapat diaktifkan dan dimatikan secara individual atau dengan memberi nilai 0 pada bit-bit IE (*interrupt Enable*) dalam SFR.

Tabel 2.1 *Register Interrupt Enable (IE)*

<b>Bit</b>	<b>Nama</b>	<b>Alamat</b>	<b>Keterangan</b>
0	EX0	A8H	Mengaktifkan/menonaktifkan interupsi eksternal 0
1	ET0	A9H	Mengaktifkan/menonaktifkan interupsi <i>timer</i> 0
2	EX1	AAH	Mengaktifkan/menonaktifkan interupsi eksternal 1
3	ET1	ABH	Mengaktifkan/menonaktifkan interupsi <i>timer</i> 1
4	ES	ACH	Mengaktifkan/menonaktifkan interupsi <i>timer serial</i>
5	-	ADH	Tidak ada
6	-	AEH	Tidak ada
7	EA	AFH	Menonaktifkan semua interupsi jika bit ini clear

### 2.4.3.2 Prioritas interupsi

Interupsi dengan prioritas rendah dapat diinterupsi oleh prioritas yang lebih tinggi, tetapi tidak untuk prioritas yang sama (sama rendahnya). Interupsi dengan prioritas yang lebih tinggi tidak dapat diinterupsi oleh sumber interupsi yang lain.

Tabel 2.2 *Register Interrupt Priority (IP)*

Bit	nama	alamat	Keterangan
IP.0	PX0	B8H	Prioritas interupsi eksternal 0
IP.1	PT0	B9H	Prioritas interupsi <i>timer</i> 0
IP.2	PX1	BAH	Prioritas interupsi eksternal 1
IP.3	PT1	BBH	Prioritas interupsi <i>timer</i> 1
IP.4	PS	BCH	Prioritas interupsi <i>serial</i>
IP.5	PT2	BDH	Prioritas interupsi <i>timer</i> 2
IP.6	-	BEH	Cadangan
IP.7	-	BFH	Cadangan

### 2.4.3.3 Vektor interupsi

Vektor interupsi adalah harga atau nilai yang disimpan di PC (Program Counter) pada saat terjadi interupsi, sehingga nilai tadi akan menuju ke alamat yang ditentukan oleh PC.

Tabel 2.3 *Register Vektor* pada saat Interupsi

Interupsi	Flag	Alamat
Serial	R1/T1	0023H
Timer 1	TF1	001BH
Eksternal 1	IE1	0013H
Timer 0	TF0	000BH
Eksternal 0	IE0	0003H
Sistem Reset	RST	0000H

#### 2.4.4 Pewaktu (*timer*)

Pada AT89C51 mempunyai 2 buah *timer* yaitu *timer 0* dan *timer 1*. Masing-masing *timer* mempunyai 16-bit *counter* yang bersifat *programmable*. Register-register yang dimiliki *timer* yaitu :

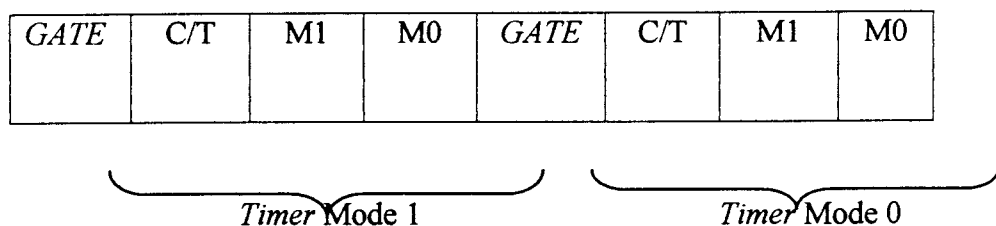
1. *Timer Mode Register (TMOD)*
2. *THx dan TLx (x adalah nomor timer)*
3. *Timer Control Register (TCON)*

TMOD dan TCON digunakan sebagai *register* kendali. TMOD mempunyai alamat 89H, THx dan TLx mempunyai alamat 8AH sampai 8DH dan TCON mempunyai alamat 88H. TCON adalah *register* yang dapat diakses per-bit yang digunakan untuk mengaktifkan dan menonaktifkan *timer*, dan menentukan jenis interupsi eksternal *timer* dan menandakan dengan adanya *overflow flag*.

Tabel 2.4 Kombinasi operasi mode *timer 1* dan *timer 0*

M1	M2	Mode	Fungsi Operasi
0	0	0	Sebagai <i>timer</i> 13 bit
0	1	1	Sebagai <i>Timer/Counter</i>
1	0	2	Sebagai <i>Timer</i> auto reload 8 bit (Pengisian otomatis)
1	1	3	Sebagai <i>timer</i> terbagi

Tabel 2.5 Register Timer Mode Register (TMOD)



Register TMOD mempunyai 8-bit *register* yang terletak pada alamat 89H.

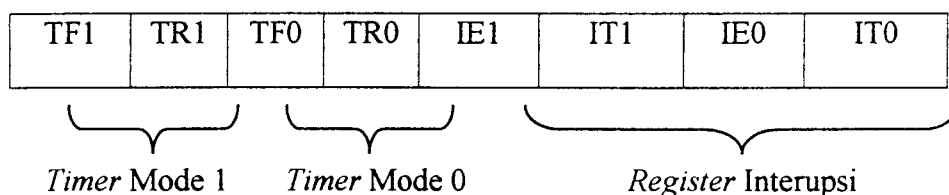
Keterangan :

GATE : *Timer* ini akan berfungsi *timer 0* jika bit INT0 diset pada pin P3.2 dan *timer 1* jika bit INT1 diset pada pin P3.3.

C/T : Sebagai pemilih fungsi dari *timer* (0) dan *counter* (1).

M1 dan M0 : Sebagai pemilih mode *timer*.

Tabel 2.6 Register Timer Control Register (TCON)



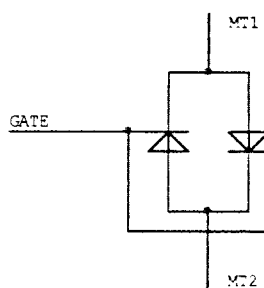
TCON ini hanya mempunyai 4-bit mode *timer*, yang terletak pada alamat 88H.

### Keterangan :

- TF1 : *Timer 1 overflow flag yang diset jika timer overflow.*
- TR1 : Sebagai *selector timer activation*. 1 timer aktif pada mode 1, 0 timer nonaktif pada mode 1.
- TF0 : Fungsinya sama dengan TF1.
- TR0 : Fungsinya sama dengan TR1.

## 2.5 TRIAC

Triac adalah komponen semikonduktor yang terbuat dari silicon. Triac merupakan salah satu keluarga Thyristor yang mempunyai kemampuan mengantarkan arus 2 arah (*bi directional*). Triac tersusun dari P-N junction yang komplek atau secara teori triac terdiri dari 2 buah SCR yang digabungkan. Triac mempunyai 3 buah kaki yaitu MT1, MT2 dan *gate*. Dalam aplikasinya triac biasa digunakan sebagai *switch* untuk beban atau tegangan yang tinggi.

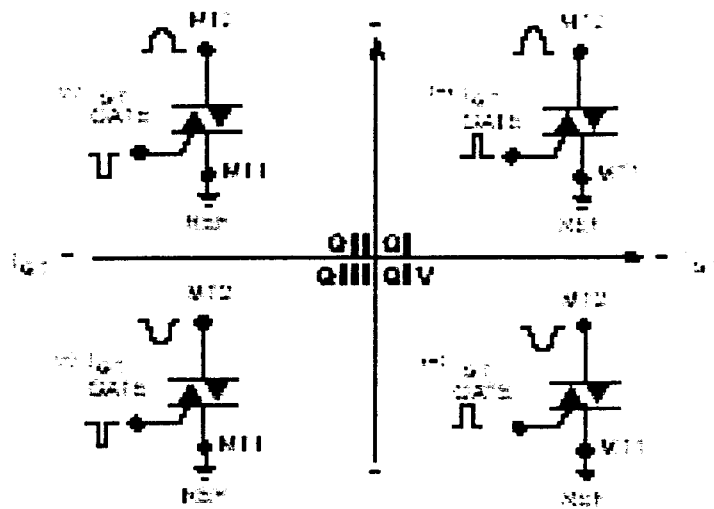


Gambar 2.6 Konfigurasi Triac

Tegangan picu arus positif yang masuk pada kaki *gate* akan menyebabkan MT2 akan menghambat arus yang melewatinya dan menyebabkan kaki MT1 mengalirkan arus listrik. Hal ini juga berlaku saat kaki *gate* mendapatkan picu

arus yang lebih negatif atau 0, maka MT2 akan mengalirkan arus dan MT1 menahan arus.

Berikut ini gambar referensi sinyal masukan dan keluaran triac:



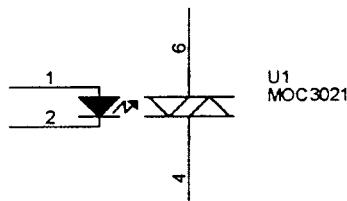
Gambar 2.7. Referensi sinyal masukan dan keluaran triac

## 2.6 Optocoupler

*Optocoupler* termasuk dalam optic tranduser, dimana komponen ini terdiri dari LED *Infra* merah sebagai sumber cahaya dan phototransistor sebagai penyensor. Pada umumnya *Optocoupler* diproduksi dalam bentuk paket plastic dan dapat diberi lensa atau filter untuk menaikkan kepekaannya.

Dalam sebuah sistem digital *Optocoupler* banyak digunakan sebagai saklar digital dan juga sebagai isolator diantara kedua sirkit. Hal ini disebabkan karena dengan terpisahnya antara jalur cahaya dengan penerima cahayanya sehingga menyebabkan terjadinya sebuah *transver* energi listrik dalam satu arah, dari IRED

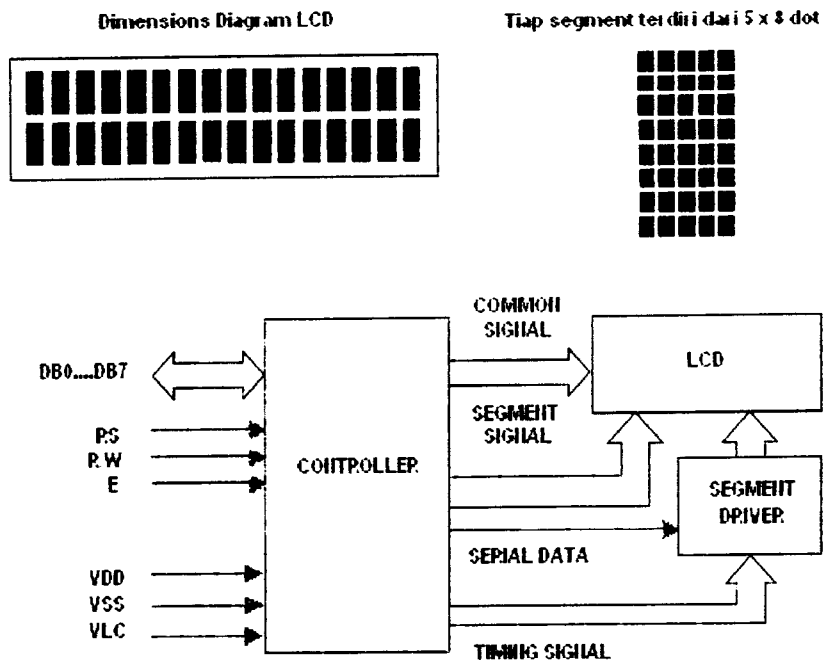
ke photo detektor, sambil mempertahankan isolasi listrik diantara kedua sirkit, seperti terlihat pada gambar dibawah ini.



Gambar 2.8 Optocoupler

## 2.7 LCD (*Liquid Crystal Display*)

LCD (*Liquid Crystal Display*) adalah suatu *display* dari bahan cairan kristal yang pengoperasiannya menggunakan sistem *dot matriks*. LCD yang digunakan pada alat ini adalah LCD M1632. M1632 merupakan modul LCD dengan tampilan 16 x 2 baris dengan konsumsi daya yang rendah. Modul ini dilengkapi dengan mikrokontroler yang dirancang hanya untuk mengendalikan LCD. Mikrokontroler HD44780 buatan *Hitachi* yang berfungsi sebagai pengendali LCD ini mempunyai CGROM (*Character Generator Read Only Memory*), CGRAM (*Character Generator Random Access Memory*) dan DDRAM (*Display Data Random Access Memory*), dan juga memiliki 3 bit *control* yaitu E yang merupakan *input clock*, R/W sebagai *input* untuk memilih *read* atau *write* dan RS sebagai register *select*, juga memiliki 8 bit data yaitu DB0 sampai DB7. Diagram blok LCD M1632 ditunjukkan pada gambar 2.9.



Gambar 2.9. Diagram Blok LCD M1632

Register perintah adalah register untuk membaca perintah-perintah dari mikrokontroler ke HD44780 pada saat proses penulisan data atau tempat status dari HD44780. Penulisan data ke register perintah dilakukan dengan tujuan mengatur tampilan LCD, inisialisasi dan mengatur *address counter* maupun *address data*. Kondisi RS berlogika ‘0’ menunjukkan akses data ke register perintah, R/W berlogika ‘0’ yang menunjukkan proses penulisan data akan dilakukan. Untuk antarmuka mode 8 bit, proses penulisan dapat langsung dilakukan secara 8 bit dan diawali sebuah pulsa logika ‘1’ pada E *clock*.

Sedangkan register data adalah register dimana mikrokontroler dapat menuliskan atau membaca data ke atau dari DDRAM. Penulisan data pada register ini akan menempatkan data tersebut ke DDRAM sesuai dengan alamat yang telah diatur sebelumnya. Penulisan data pada register data dilakukan untuk mengirimkan data yang akan ditampilkan pada LCD. Prosesnya diawali dengan

membuat RS berlogika ‘1’ yang menunjukkan akses ke register data, kondisi R/W diatur pada logika ‘0’ yang menujukkan proses penulisan data, kemudian memberi sebuah pulsa ‘1’ pada E *clock*.

### 2.7.1. DDRAM (*Display Data Random Access Memory*)

DDRAM merupakan memori tempat karakter yang ditampilkan berada. Contoh, untuk karakter ‘A’ atau 41h (0100 0001b) yang ditulis pada alamat 00h, maka karakter tersebut akan tampil pada baris pertama dan kolom pertama dari LCD. Apabila karakter tersebut ditulis pada alamat 40h, maka karakter tersebut akan tampil pada baris kedua kolom pertama dari LCD.

Display position	1	2	3	4	5	6	7	8
DDRAM address	00	01	02	03	04	05	06	07
	40	41	42	43	44	45	46	47
For shift left	01	02	03	04	05	06	07	08
	41	42	43	44	45	46	47	48
For shift right	27	00	01	02	03	04	05	06
	67	40	41	42	43	44	45	46

Gambar 2.10. Alamat DDRAM M1632

### 2.7.2. CGRAM (*Character Generator Random Access Memory*)

CGRAM merupakan memori untuk menggambarkan pola sebuah karakter dimana bentuk dari karakter dapat diubah-ubah sesuai keinginan, tetapi memori ini akan hilang saat *power supply* tidak aktif, sehingga pola karakter akan hilang.

### 2.7.3. CGROM (*Character Generator Read Only Memory*)

CGROM merupakan memori untuk menggambarkan pola sebuah karakter dimana pola tersebut sudah ditentukan secara permanen dari HD44780 sehingga pengguna tidak dapat mengubah lagi. Tetapi karena ROM bersifat

permanen, maka pola karakter tersebut tidak akan hilang walaupun *power supply* tidak aktif.

Sebagai contoh yakni pada saat HD44780 akan menampilkan data 41h yang tersimpan pada DDRAM, maka HD44780 akan mengambil data dialamat 41h (0100 0001b) yang ada pada CGROM yaitu pola karakter ‘A’. Gambar 2.11. dibawah ini adalah pola-pola karakter yang tersimpan dalam lokasi-lokasi tetentu dalam CGROM.

	0000	0001	0010	0011	0100	0101	0110	0111	1000	1001	1010	1011	1100	1101	1110	1111
	CG ROM (1)															
xxxx0000	█		█	█	█	█	█	█	█	█	█	█	█	█	█	█
xxxx0001	(2)	█	! 1	A Q a q	2 J i	+ t A N A	3	4	5	6	7	8	9	0	;	,
xxxx0010	(3)	█	2	B R b r	Ж Г ф	2 А ѕ	3	4	5	6	7	8	9	0	;	,
xxxx0011	(4)	█	# 3	C S c s	3 π f	3 ѕ	4	5	6	7	8	9	0	;	,	,
xxxx0100	(5)	█	\$ 4	D T d t	И Е Х К	А ѕ	6	7	8	9	0	;	,	,	,	,
xxxx0101	(6)	█	5	E U e u	Й о	Ч Н ѕ	6	7	8	9	0	;	,	,	,	,
xxxx0110	(7)	█	6	F V f v	Ј Ј	1 9 ѕ	6	7	8	9	0	;	,	,	,	,
xxxx0111	(8)	█	7	G W g w	П τ	3 - С x 5	7	8	9	0	;	,	,	,	,	,
xxxx1000	(1)	█	8	H X h x	У ѕ	о ѕ	8	9	0	;	,	,	,	,	,	,
xxxx1001	(2)	█	9	I Y i y	Ч 0	1 ѕ	9	0	;	,	,	,	,	,	,	,
xxxx1010	(3)	█	*	J Z j z	Ч 0	3 ѕ	9	0	;	,	,	,	,	,	,	,
xxxx1011	(4)	█	+	K K k	Ш 8	« * ѕ	9	0	;	,	,	,	,	,	,	,
xxxx1100	(5)	█	,	L \ l	Ш	Ю ѕ	9	0	;	,	,	,	,	,	,	,
xxxx1101	(6)	█	-	M M m	3	Ь ѕ	9	0	;	,	,	,	,	,	,	,
xxxx1110	(7)	█	.	N ^ n	~	ы ѕ	9	0	;	,	,	,	,	,	,	,
xxxx1111	(8)	█	?	O O o	3	0 ѕ	9	0	;	,	,	,	,	,	,	,

Gambar 2.11. Pola Karakter CGROM

#### 2.7.4. Konfigurasi Pin LCD M1632

Pada tabel berikut ditunjukkan konfigurasi Pin LCD M1632 sebagai berikut:

Tabel 2.7. Konfigurasi Pin LCD M1632

No	Nama Pin	Keterangan
1	VCC	+5V
2	GND	0V
3	VEE	tegangan kontras LCD
4	RS	Register Select, 0 = Register Perintah, 1 = Register Data
5	R/W	1 = Read, 0 = Write
6	E	Enable Clock LCD, logika 1 setiap kali pengiriman atau pembacaan data
7	D0	Data Bus 0
8	D1	Data Bus 1
9	D2	Data Bus 2
10	D3	Data Bus 3
11	D4	Data Bus 4
12	D5	Data Bus 5
13	D6	Data Bus 6
14	D7	Data Bus 7

#### 2.7.5. Register

HD44780, mempunyai dua buah register yang aksesnya diatur dengan menggunakan kaki RS. Pada saat RS berlogika ‘0’, maka register yang diakses adalah register perintah dan pada saat RS berlogika ‘1’, maka register yang diakses adalah register data.

#### **2.7.5.1. Register Perintah**

Register ini adalah register dimana perintah-perintah dari mikrokontroler ke HD44780 pada saat proses penulisan data atau tempat status dari HD44780 dapat dibaca pada saat pembacaan data.

#### **2.6.5.2. Register Data**

Register ini adalah register dimana mikrokontroler dapat menuliskan atau membaca data ke atau dari DDRAM. Penulisan data pada register ini akan menempatkan data tersebut ke DDRAM sesuai dengan alamat yang telah diatur sebelumnya.

#### **2.7.6. Penulisan Data ke Register Perintah dan Register Data**

Penulisan data ke register perintah dilakukan dengan tujuan mengatur tampilan LCD, inisialisasi dan mengatur *Address Counter* maupun *Address Data*. Kondisi RS berlogika ‘0’ menunjukkan akses data ke register perintah. RW berlogika ‘0’ yang menunjukkan proses penulisan data. Sedangkan penulisan data pada register data dilakukan untuk mengirimkan data yang akan ditampilkan pada LCD. Proses diawali dengan adanya logika ‘1’ pada RS yang menunjukkan akses ke register data, kondisi R/W diatur pada logika ‘0’ yang menunjukkan proses penulisan data. Pengiriman data dari data bus DB4 - DB7 diawali dengan pemberian pulsa logika ‘1’ pada E *clock* dan diakhiri dengan pulsa logika ‘0’ pada E *clock*.

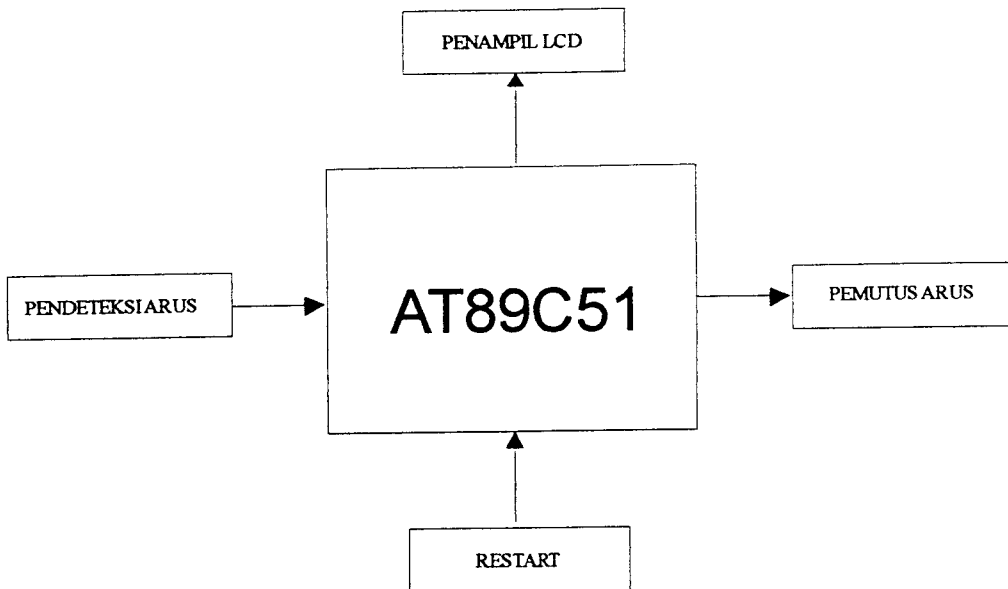
## **BAB III**

### **PERANCANGAN ALAT**

#### **3.1. Pendahuluan**

Alat tersebut akan bekerja mendeteksi arus yang pada instalasi secara terus menerus dan memutuskan arus yang lewat pada instalasi pada saat nilai arus kurang dari 1,8A, maka recloser dalam keadaan *on* akan melewatkannya arus pada instalasi, dan saat nilai arus lebih dari 1,8A maka recloser dalam keadaan *off* atau tidak melewatkannya arus pada instalasi, recloser akan kembali *on* atau arus lewat kembali setelah 30 detik kemudian, dan mengecek ulang nilai arus pada instalasi, jika nilai arus kurang dari 1,8 A, maka recloser tersebut akan *on* terus. Dan jika arus lebih dari 1,8 A, maka recloser akan *off* dan seterusnya. Apabila recloser telah memutuskan arus sebanyak 3 kali, maka recloser tersebut akan *off* terus, sampai recloser tersebut di reset.

Diagram blok alat Elektronika Recloser Berbasis Mikrokontroller AT89C51 terbagi menjadi 5 buah blok diagram utama yaitu : pendekripsi arus sebagai sensor yang mendekripsi nilai beban yang digunakan dan terdiri dari rangkaian analog dan pengubah analog ke digital, pemutus arus sebagai pemutus arus apabila terjadi beban berlebih, penampil LCD sebagai petunjuk besar arus yang terdeteksi, mikrokontroller sebagai otak utama dari sistem, switch sebagai saklar untuk mengaktifkan dan mereset sistem alat.



Gambar 3.1. Blok Diagram Alat Elektronika Recloser

### 3.2. Pendeksi Arus

Rangkaian deteksi yang digunakan pada alat ini terdiri dari sensor arus dan rangkaian ADC (*Analog to Digital Converter*). Sensor arus tersebut sebagai pengubah besaran *magnetis* menjadi besaran listrik.

#### 3.2.1 Sensor Arus

Sensor arus digunakan adalah trafo arus, sebagai pengubah besaran magnetis menjadi besaran listrik. Pada bab ii telah diterangkan sistem kerja dari trafo arus tersebut yang mempunyai dua belitan yakni belitan primer dan belitan sekunder, karakteristik alat tersebut hampir sama dengan sistem kerja dari alat ukur Tang Meter, yang mana pada sisi primer terhubung seri dengan jala-jala PLN.

Dengan perbandingan jumlah lilitan primer dan sekunder, yakni jumlah lilitan primer sama dengan 100 kali jumlah lilitan sekunder. Maka dapat

ditentukan tegangan primer dan sekunder, maupun arus yang lewat pada belitan primer dan belitan sekunder.

Untuk menentukan nilai tegangan maupun arus pada dua sisi trafo arus, maka lihat persamaan 2.1 sampai dengan 2.6. Jika nilai arus pada belitan primer sebesar 1,8 A, maka nilai arus pada belitan sekunder yang belum terbebani dapat diketahui dengan hasil sebagai berikut, dengan menggunakan persamaan 3.1.

$$I_s = \frac{I_p N_p}{N_s}$$

$$I_s = \frac{1,8\cdot 1}{100}$$

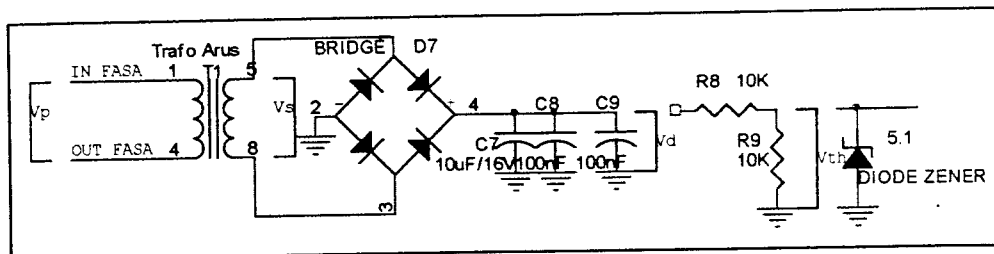
$$\text{Maka, } I_s = 0.018 \text{ Ampere} \approx 18mA$$

Tegangan pada sisi sekunder, akan disearahkan dengan rangkaian penyearah gelombang penuh, dari tegangan bolak-balik (a.c) menjadi tegangan searah (d.c).

Fungsi kapasitor dalam rangkaian ini sebagai penyimpan muatan dan filter. Supaya tegangan tidak terlalu besar maka dibuat pembagi tegangan dengan melakukan penyederhanaan ke rangkaian ekivalen. Dengan persamaan sebagai berikut:

Nilai  $V_{TH}$  sama dengan nilai tegangan diantara  $R_1$  dan  $R_2$

Agar tegangan yang masuk pada ADC tidak terlalu besar dari batas maksimum ADC, maka haruslah diberi dioda zener sebesar 5.1V.



Gambar 3. 2. Trafo Arus dan Rangkaian Penyearah

### **3.2.2. Rangkaian ADC 0804**

Rangkaian ADC 0804 ditunjukkan pada Gambar 3.3. Hal yang paling penting dalam suatu perancangan rangkaian ADC adalah resolusi. Pada persamaan 2.1 dapat diketahui nilai resolusi ADC0804. Jika tegangan refrensi ADC sebesar +5 volt dan jumlah bit ADC 8 bit. Maka besarnya resolusi dari ADC berdasarkan persamaan 2.1 adalah

$$r = \frac{1}{2^8 - 1} \cdot 5 \text{ Volt} = 0.0196 \text{ Volt} \approx 0,02 \text{ Volt}$$

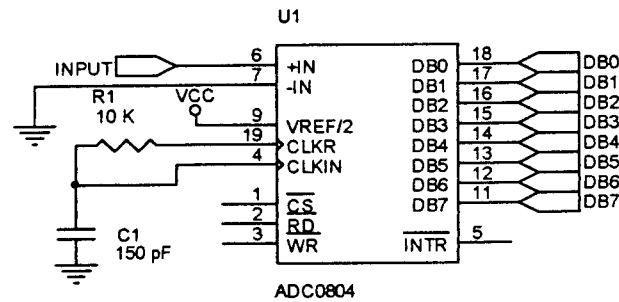
sehingga didapat hasil konversi ADC sebagai berikut

Dimana : ADC adalah hasil konversi

Vin adalah tegangan masukan ADC dan,

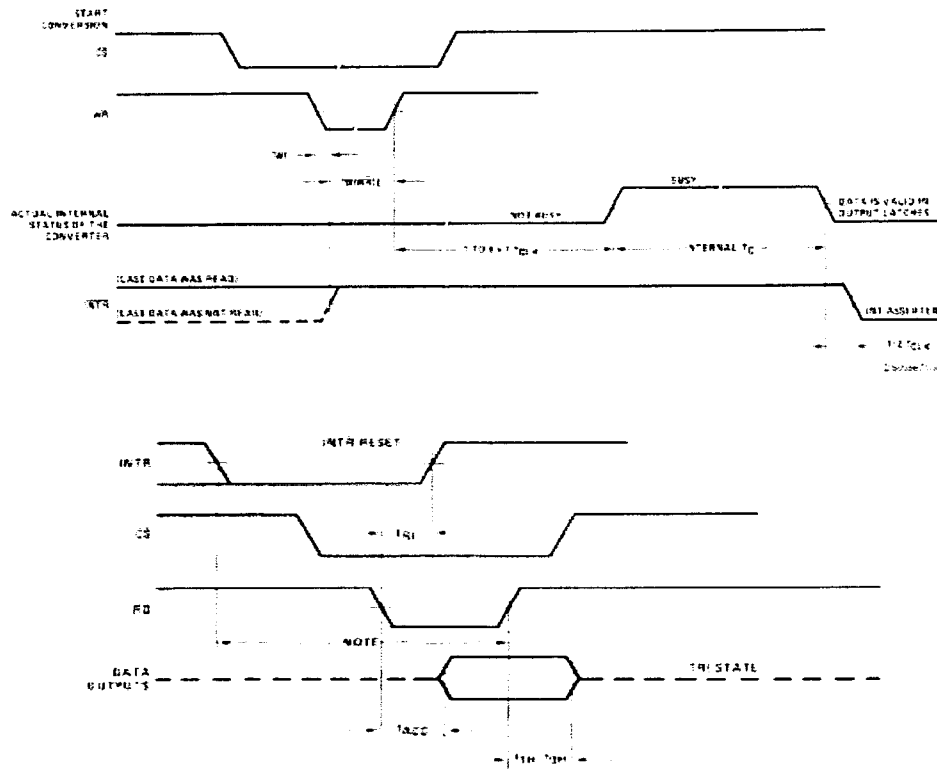
r adalah resolusi

Jika input analog diberi 0,1 volt maka dengan persamaan 3.3 didapat keluaran binernya = 0000 0101 ( $0,1 \text{ volt}/0,02 \text{ volt} = 5$  maka binernya = 0000 0101).



Gambar 3. 3. Hubungan ADC0804 ke Mikrokontroler

Proses konversi dari tegangan analog ke data digital dengan menggunakan ADC0804 ditunjukan pada gambar diagram waktu berikut ini



Gambar 3. 4. Proses konversi pada ADC0804

Dari gambar diatas diketahui bahwa konversi dimulai saat pin CE rendah kemudian dilanjutkan dengan membuat WR rendah, dengan membuat Pin WR rendah berarti konversi dimulai. Proses konversi selesai jika INTR berlogika

rendah. Pembacaan data dari keluaran ADC ke mikrokontroler dilakukan dengan membuat RD rendah sehingga data hasil konversi dikirim ke jalur data bus mikrokontroler (D0-D7).

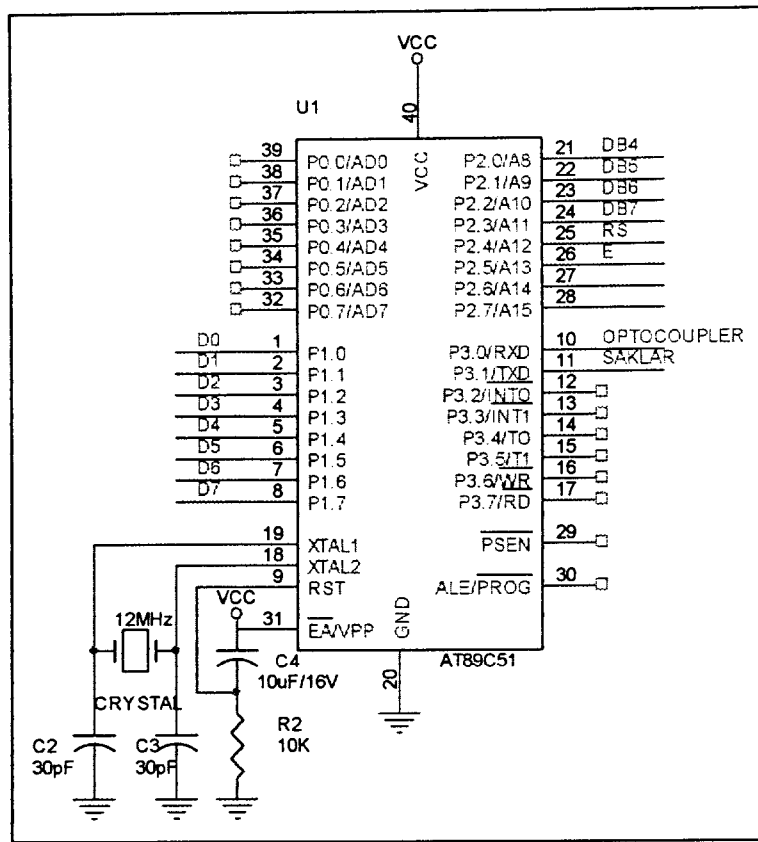
### 3.3. Sistem Minimum

Dalam pengolahan data digunakan rangkaian sistem minimum yang terdiri dari mikrokontroller AT89C51, LCD, dan komponen-komponen lainnya yang disusun menjadi satu rangkaian.

#### 3.3.1. Mikrokontroller AT89C51

Mikrokontroller AT89C51 merupakan pengontrol dari keseluruhan rangkaian. Perencanaan *input/output* port mikrokontroller AT89C51 adalah sebagai berikut :

- P1.0 – P0.7 berfungsi sebagai jalur masukan (D0-D7) dari ADC.
- P2.0 – P2.3 digunakan untuk jalur data bus (DB4-DB7) ke LCD.
- P2.4 Berfungsi untuk jalur register select 0 untuk Register Perintah dan 1 untuk Register Data.
- P2.5 berfungsi untuk jalur Enable Clock LCD, logika 1 untuk setiap kali pengiriman atau pembacaan data dari kontroler.
- P3.0 berfungsi sebagai jalur data ke optocoupler.
- P3.1 berfungsi sebagai jalur data ke saklar untuk mereset program.

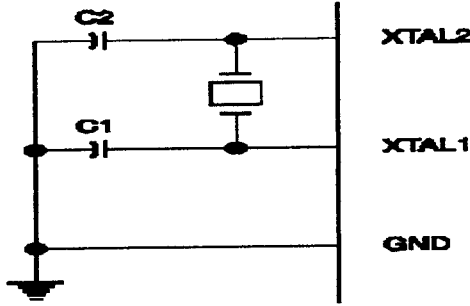


Gambar 3.5. Rangkaian Perencanaan Input/Output

### 3.3.2. Rangkaian Clock

Seluruh keluarga MCS-51 mempunyai rangkaian osilator dalam *chipnya* atau disebut juga *oscilator on-chip* yang digunakan sebagai sumber detak (*clock*) ke CPU.. Untuk menggunakan rangkaian *oscilator* yang ada di dalam *chip* tersebut maka harus dihubungkan dengan *kristal* dengan frekuensi 12 MHz, pada pin XTAL1 dan XTAL2 serta dua buah kapasitor ke *ground*.

Pembangkit *clock* internal menentukan rentetan kondisi-kondisi (*state*) yang membentuk sebuah siklus mesin mikrokontroller.

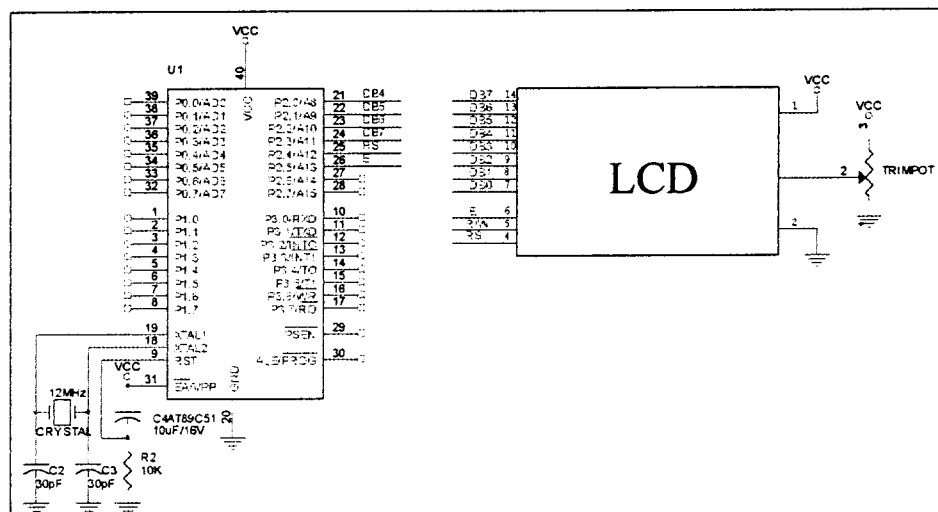


Gambar 3.6. Rangkaian Clock

### 3.4 Rangkaian Penampil

Untuk tampilan data arus yang lewat pada jala-jala PLN, setelah di ubah menjadi digital, maka komparator akan memerintahkan mikrokontroler untuk memproses dan kemudian mengaktifkan rangkaian display untuk menampilkan data LCD. Tampilan di sini menggunakan *LCD*, dimana tampilan tersebut bentuknya berupa nilai arus yang terdeteksi dengan satuan *amper* dan petunjuk keadaan alat tersebut berupa kalimat “*normal load*” pada keadaan normal, dan apabila terjadi gangguan maka berupa kalimat “*over load*”.

Gambar rangkaian Penampil dapat dilihat pada gambar 3.7 berikut :



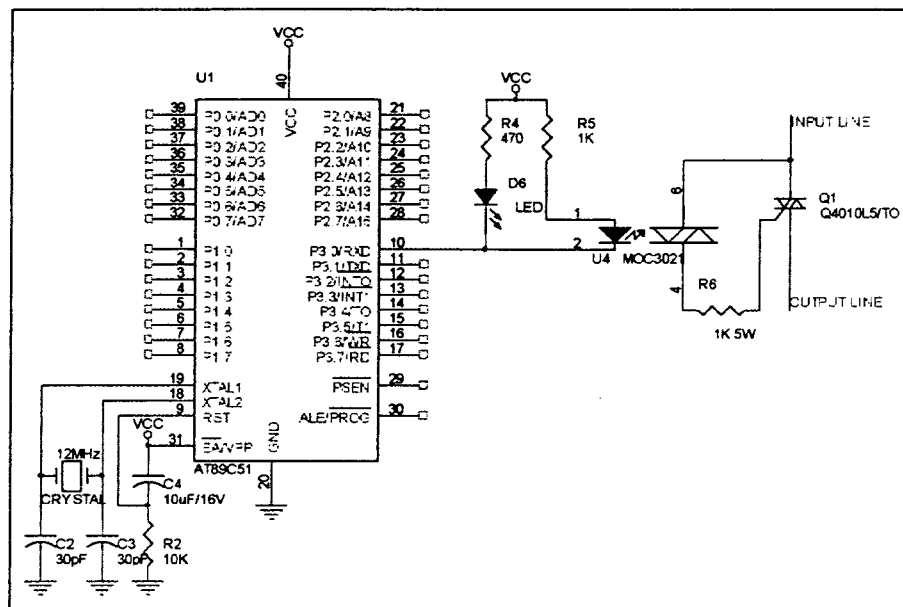
Gambar 3.7. Rangkaian Penampil

### 3.5 Pemutus Arus

Pemutus arus jala jala PLN pada perancangan ini menggunakan TRIAC atau dioda 2 arah yang dihubungkan ke *optotriac* MOC 3021. Pada perancangan ini arus 1,8 Ampere, jadi TRIAC yang digunakan adalah Q4010 yang mempunyai kemampuan menyekat Arus maksimal sebesar 10 Ampere.

Pada prinsipnya cara kerja dari rangkaian ini adalah seperti saklar pada umumnya. Ketika *pin* P3.0 diberi logika tinggi maka arus akan mengalir ke led yang ada didalam *optotriac* dan menjenuhkan TRIAC yang ada pada *optotriac* dan membuat TRIAC membuka sekatan dan menghidupkan beban sebesar 1,8 Ampere.

Rangkaian pemutus arus dapat dilihat pada gambar 3.8.

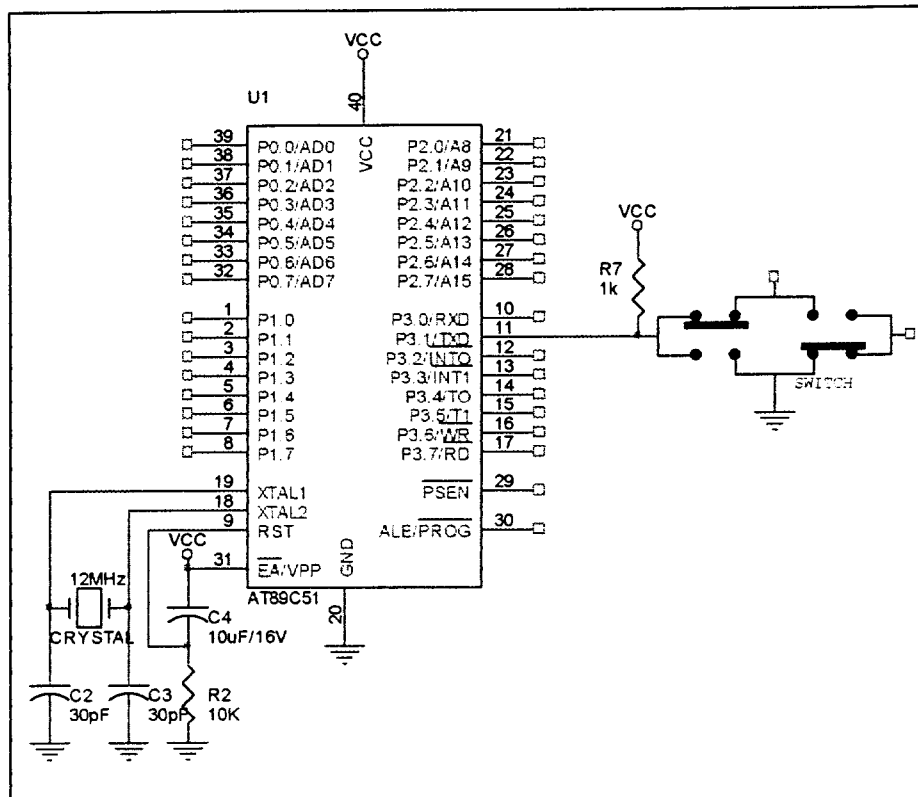


Gambar 3.8. Rangkaian Pemutus Arus

### 3.6 Switch

Pada perancangan rangkaian ini menggunakan saklar sentuh. Setelah program menjalankan sistem pemutusan sebanyak tiga kali, maka tombol tersebut ditekan untuk mereset ulang sistem pada prinsipnya cara kerja dari rangkaian ini adalah saklar sentuh. Alat tersebut terhubung di pin P3.1 yang berlogika tinggi, agar kerja dari alat tersebut sempurna, haruslah diberi tegangan picu. Apabila switch tersebut di tekan, akan menghubungkan pin P3.1 ke *Ground*.

Gambar rangkaian *Switch* dapat dilihat pada gambar 3.9 berikut :

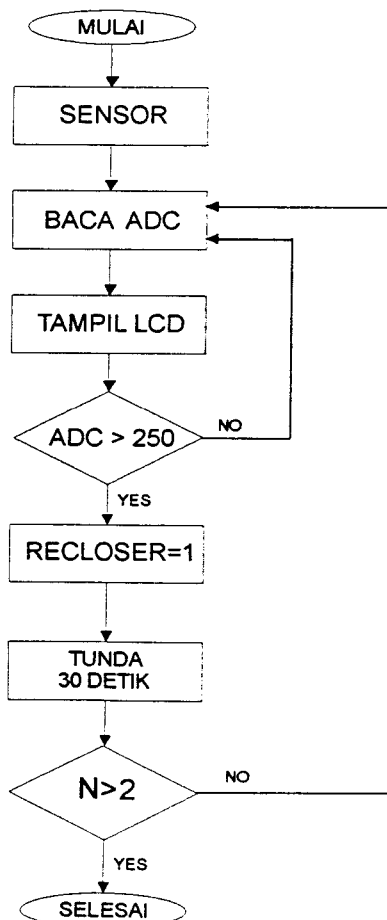


Gambar 3.9. Rangkaian *Switch*

### 3.7 Perancangan Perangkat Lunak

Agar sistem bekerja dengan sebagaimana mestinya, maka diperlukan perangkat lunak yang mengatur kerja dari keseluruhan rangkaian. Pertama-tama yang dibuat adalah:

Diagram alir (*Flowchart*) dan pembuatan program. Pembuatan program ditulis dengan bahasa C dengan *Small Device C Compiler* (SDCC) pada mikrokontroler AT89C51, dan program tersebut disimpan dalam EPROM. Urutan kerja sistem secara keseluruhan dapat dilihat pada *flowchart* berikut.



Gambar 3.10. *Flowchart* Elektronika Recloser

## **BAB IV**

### **ANALISA DAN PENGAMATAN**

Pengamatan dilakukan untuk menguji hasil perancangan dan *implementasi* alat, sehingga dapat diketahui sejauh mana alat dapat bekerja. Pengamatan yang terpenting adalah bagian yang cukup kritis. Dengan mendapatkan parameter hasil pengujian tersebut dapat disimpulkan rangkaian secara keseluruhan dan cara kerja alat dapat diketahui.

Pengamatan dan pengukuran pada bab ini dilakukan pada beberapa tingkat sebagai berikut :

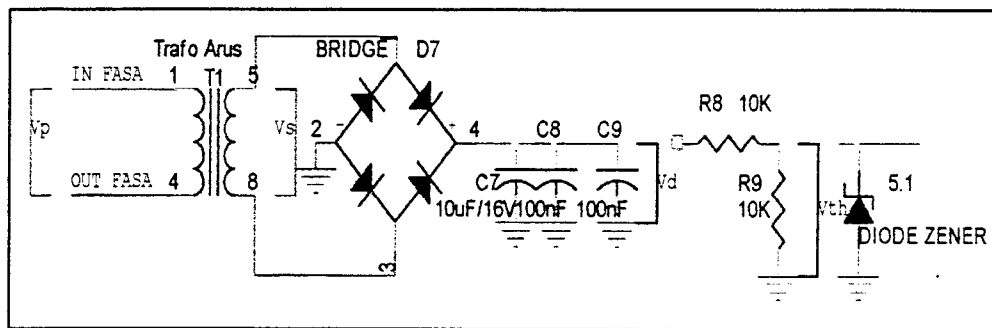
1. Rangkaian Pendekksi Arus
2. Rangkaian ADC 0804
3. Rangkaian Mikrokontroler AT89C51
4. Rangkaian Pemutus Arus
5. Rangkaian Penampil
6. Rangkaian secara keseluruhan

#### **4.1 Pengujian Rangkaian Pendekksi Arus**

Pada pengujian rangkaian pendekksi arus, input trafo di hubungkan seri dengan jala-jala listrik. Pada sisi sekunder akan mengeluarkan arus bolak-balik yang belum terbebani. Kemudian arus bolak-balik (a.c) tersebut akan diubah ke tegangan satu arah (d.c) dengan menggunakan penyearah gelombang penuh. Pada

rangkaian pendeksi arus ini terdapat rangkaian pembagi tegangan, agar tegangan yang masuk sesuai dengan tegangan referensi ADC.

Pada gambar 4.1 dapat dilihat bagian-bagian rangkaian pendeksi arus, terdiri dari trafo arus, penyearah, pembagi tegangan. Dengan mengetahui bagian rangkaian tersebut, maka dapat menggunakan persamaan 2.1 sampai dengan 2.6 untuk menghitung nilai tegangan sekunder ( $V_s$ ) dan arus sekunder ( $I_s$ ) yang belum terbebani.



Gambar 4.1. Rangkaian Pendeksi Arus

Dengan,  $V_s$  = nilai tegangan sisi sekunder trafo arus

$V_d$  = nilai tegangan keluaran penyearah gelombang penuh

$V_{th}$  = nilai tegangan thevenin / tegangan input ADC

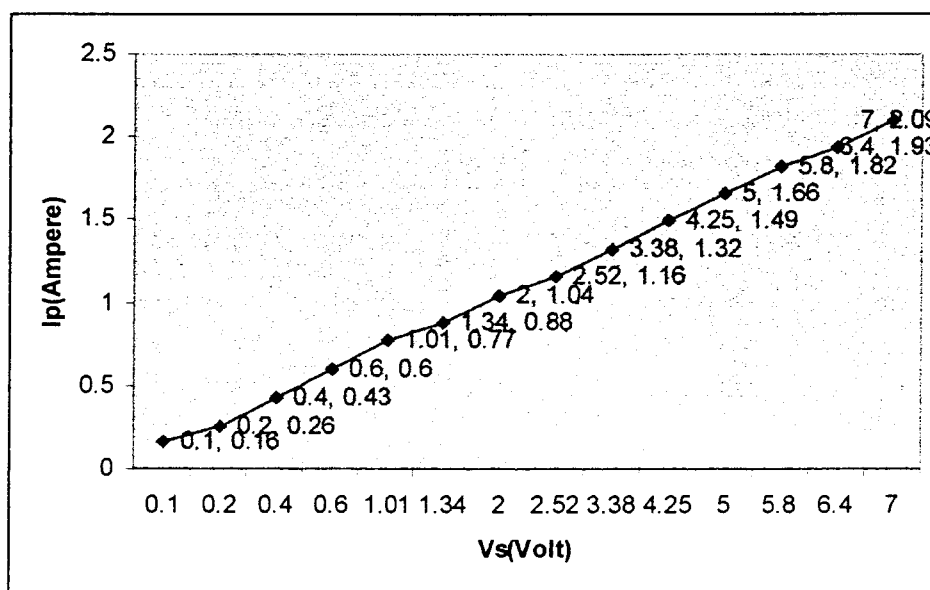
Hasil pengukuran pada sisi primer dan sisi sekunder trafo arus diperlihatkan pada tabel 4.1.

Tegangan Jala-jala Listrik PLN = 222 volt

Tabel 4. 1. Hasil pengukuran sisi primer dan sisi sekunder trafo arus

Sisi Primer Trafo Arus			Sisi Sekunder Trafo Arus		
No	Daya (watt)	Arus (Ampere)	V <sub>s</sub>	V <sub>d1</sub>	V <sub>th1</sub>
1	37	0.16	0.1	0	0
2	61	0.26	0.2	0.6	0.03
3	99	0.43	0.4	0.1	0.05
4	137	0.6	0.6	0.2	0.11
5	174	0.77	1.01	0.8	0.39
6	198	0.88	1.34	1.41	0.65
7	235	1.04	2	2.21	1.33
8	258	1.15	2.52	3.85	1.86
9	298	1.32	3.38	5.76	2.8
10	332	1.49	4.25	7.66	3.6
11	369	1.66	5	9.3	4.2
12	407	1.82	5.8	10.2	5.1
13	430	1.93	6.4	11.6	5.8
14	467	2.09	7	13	6.6

Perbandingan arus sisi primer dengan tegangan sisi sekunder trafo arus dapat diperlihatkan pada gambar 4.2.



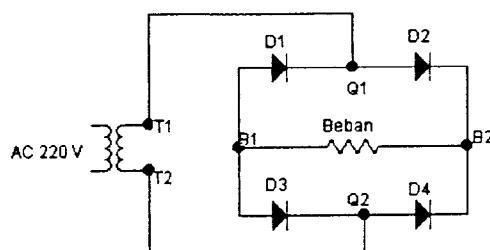
Gambar 4.2. Grafik arus sisi primer dan tegangan sisi sekunder

Dari gambar 4.2 dapat dianalisa bahwa nilai tegangan pada sisi sekunder akan mendekati *linearitas* dengan arus pada sisi sekunder trafo arus. Tetapi tegangan pada sisi sekunder tidak terlalu stabil. Faktor yang mempengaruhi nilai tegangan sisi sekunder tidak stabil adalah keliru oleh manusia atau salah dalam pembacaan saat pengukuran.

Dengan menggunakan persamaan 3.1, Dengan jumlah lilitan primer dan lilitan berbanding,  $100N_s = N_p$ , dan arus primer sebesar 1,8 A, maka dapat ditentukan nilai arus pada sisi sekunder trafo arus.

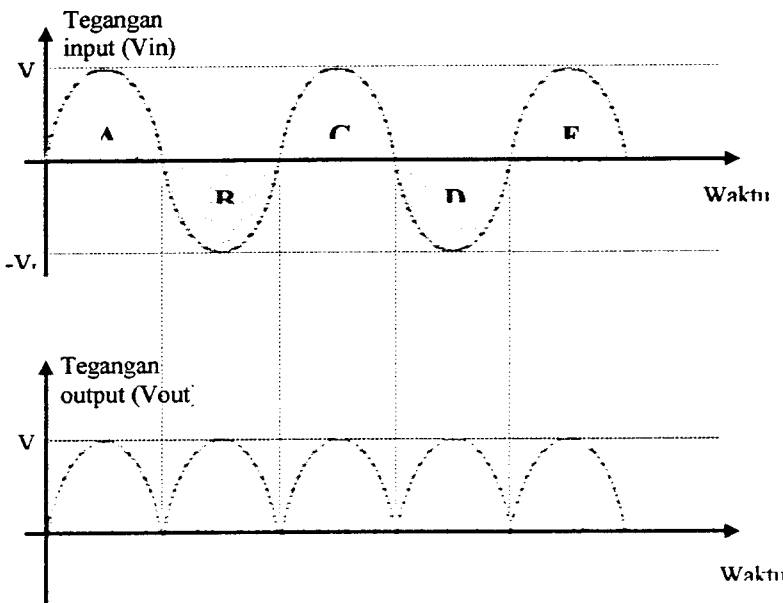
$$\begin{aligned}\frac{I_s}{I_p} &= \frac{N_p}{N_s} \\ I_s &= \frac{I_p N_p}{N_s} \\ I_s &= \frac{1,8 \cdot 1}{100} \\ I_s &= 0,018 A \approx 18mA\end{aligned}$$

Penyearah gelombang penuh dengan 4 dioda dikenal juga dengan nama penyearah jembatan. Penyearah ini tidak memerlukan trafo yang mempunyai titik CT seperti penyearah gelombang penuh sebelumnya. Skematik rangkaian penyearah ini digambarkan sebagai berikut.



Gambar 4.3. Penyearah jembatan

Prinsip dari penyearah jembatan ini sebagai berikut. Ketika polaritas T1 lebih positif daripada T2, arus mengalir dari T1 menuju ke titik Q1. Kemudian dari Q1 arus melewati D2 menuju ke titik B2. Dari B2 arus melewati beban dan menuju ke B1. Dari B1 arus ke D3 dan **tidak ke D1**. Kemudian dari D3 arus ke Q2 dan kembali lagi ke trafo melewati titik T2. Sebaliknya ketika T2 mempunyai polaritas yang lebih positif daripada T1 maka arus mengalir dari T2 ke Q2. Kemudian ke B2 dengan terlebih dahulu melewati D4. Arus melewati beban dari B2 ke B1 kemudian ke D1 **bukan ke D3**. Setelah melewati D1 arus mengalir ke Q1 dan kembali lagi ke trafo melalui titik T1. Jadi D2 dan D3 menghantar pada setengah periode kemudian D4 dan D1 menghantar pada setengah periode berikutnya, demikian seterusnya mereka saling bergantian dalam menghantarkan arus.



Gambar 4.4. Sinyal masukan dan keluaran penyearah gelombang penuh dengan 4 dioda

Tidak seperti pada penyearah gelombang penuh dengan 2 dioda dimana tegangan yang diterima oleh beban hanya setengah dari tegangan inputnya, penyearah jembatan akan menerima tegangan yang tingginya sama dengan tegangan sumbernya. Nilai tegangan DC dari penyearah gelombang penuh dengan 4 dioda ini adalah:

$$V_{DC} = \frac{2 V_{P(out)}}{\pi} \quad (4.1)$$

dengan  $V_{P(in)} = V_{P(out)}$ , maka

$$V_{DC} = 0,636 V_{P(in)} \quad (4.2)$$

Jika kita perhatikan frekuensi gelombang hasil penyearahan, akan diperoleh bahwa penyearah setengah gelombang menghasilkan gelombang dengan frekuensi yang sama dengan frekuensi gelombang sinusnya. Sedangkan pada penyearah gelombang penuh baik dengan 2 dioda maupun dengan 4 dioda akan diperoleh nilai frekuensi hasil penyearahan dua kali dari frekuensi sumber sinusnya.

Semua analisa yang dilakukan diatas adalah dengan menganggap dioda yang digunakan adalah dioda ideal. Tetapi apabila digunakan pendekatan dioda yang lain maka akan muncul drop tegangan pada dioda sehingga tegangan yang akan diterima beban akan berkurang. Selain itu perlu diperhatikan juga mengenai batas kemampuan dioda dalam menghantarkan arus. Jangan sampai arus yang mengalir melewati batas kemampuan dioda. Arus yang melewati dioda pada penyearah setengah gelombang nilainya sama dengan arus yang melewati beban sehingga nilai arus rata-ratanya adalah:

$$I_D = \frac{V_{DC}}{R_{beban}} \quad (4.3)$$

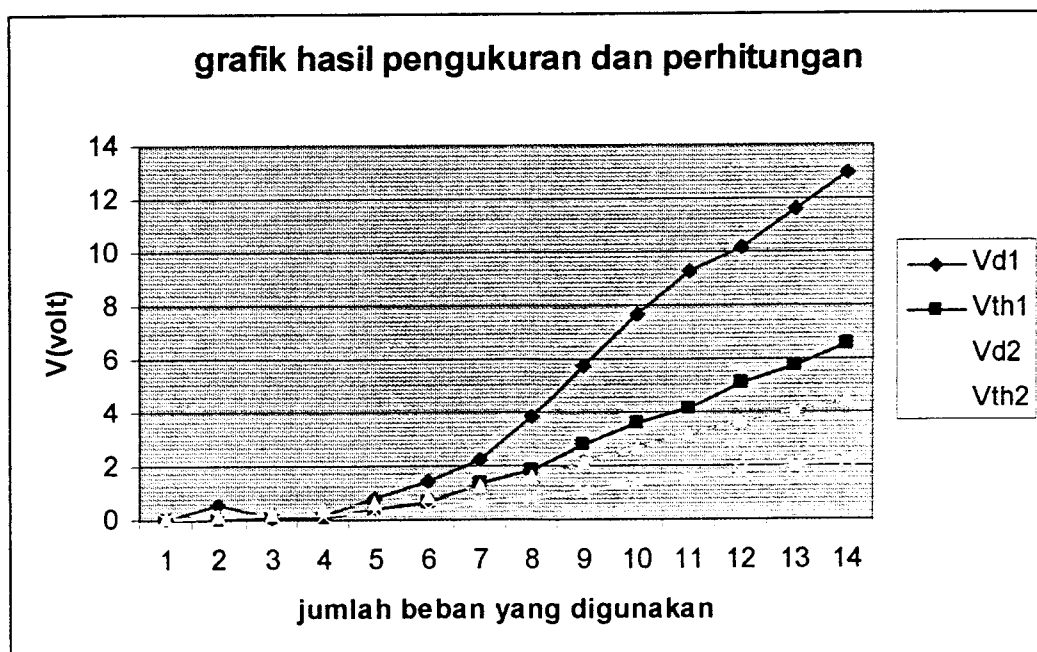
Sedangkan untuk penyearah gelombang penuh, karena masing-masing dioda hanya dilewati setengah periode saja maka arus rata-rata yang melewati dioda adalah setengah dari arus rata-rata yang melewati beban. Arus rata-rata yang melewati beban pada penyearah gelombang penuh adalah:

$$I_{beban} = \frac{V_{DC}}{R_{beban}} \quad (4.4)$$

sehingga arus yang melewati dioda, mempunyai nilai:

$$I_D = \frac{I_{beban}}{2} = \frac{V_{DC}}{2 \cdot R_{beban}} \quad (4.5)$$

Hasil perhitungan dengan menggunakan persamaan 4.2. dapat dilihat pada gambar 4.5.



Gambar 4.5. Grafik hasil pengukuran dan perhitungan

Dengan;

$Vd1$  = nilai hasil pengukuran tegangan penyearah pada pendeteksi arus

$Vt1$  = nilai hasil pengukuran tegangan *thevenin*/ pembagi tegangan pada pendeteksi arus

$Vd2$  = nilai hasil perhitungan tegangan penyearah pada pendeteksi arus

$Vt2$  = nilai hasil perhitungan tegangan *thevenin*/ pembagi tegangan pada pendeteksi arus

Dari data yang telah didapatkan melalui hasil pengukuran dan perhitungan tidak sama atau mempunyai perbedaan nilai, ini dipengaruhi oleh berapa faktor yakni; ketelitian dan kecermatan dalam pengukuran, alat ukur yang tidak normal, dll.

#### **4.2 Pengujian Rangkaian Analog to Digital Converter (ADC)**

Konversi tegangan analog menjadi data digital dengan menggunakan ADC0804. Konversi ini dimaksudkan supaya data arus yang sudah diubah kedalam tegangan analog tersebut dapat dibaca oleh mikrokontroler dengan menggunakan persamaan 3.3, nilai ADC sama dengan nilai tegangan yang masuk ke ADC dibagi dengan nilai *resolusi*. Nilai *resolusi* dapat dilihat pada persamaan 2.7.

Tabel 4. 2. Data konversi ADC0804

Arus (Ampere)	Vth (Volt)	Hasil ADC
0.16	0	00000000
0.26	0.03	00000001
0.43	0.05	00000010
0.6	0.11	00000101
0.77	0.39	00010011
0.88	0.65	00100000
1.04	1.33	01000010
1.16	1.86	01011101
1.32	2.8	10001100
1.49	3.6	10110100
1.66	4.2	11010010
1.82	5.1	11111111
1.93	5.8	11111111
2.09	6.6	11111111

#### 4.3 Pengujian Rangkaian Mikrokontroler AT89C51

Mikrokontroler merupakan pemroses data utama dalam perancangan ini. Pengujian rangkaian mikrokontroler dilakukan dengan cara menghubungkan keempat *portnya* ke rangkaian led dan men-*download* program sederhana untuk menyalakan led tersebut.

Dari hasil pengujian, *led* pada semua *port* menyala sesuai program, sehingga rangkaian mikrokontroler ini dapat digunakan sebagai pemroses utama.

#### 4.4 Pengujian Rangkaian Pemutus Arus

Rangkaian pemutus arus tersebut menggunakan *optocoupler* dan TRIAC. Pada bab III, telah di bahas tentang cara kerja alat tersebut. Cara pengetesan alat tersebut kaki 1 *optocoupler* terhubung dengan Vcc, dan kaki 2 terhubung ke salah satu *pin* pada Mikrokontroler, lalu pada MT1 dan MT2 TRIAC tersambung seri pada fasa jala-jala listrik yang telah diberikan beban berupa lampu pijar. Kemudian membuat program sederhana untuk mengaktifkan alat, perintah tersebut adalah: apabila kaki 2 *optocoupler* mendapatkan logika “0” atau aktif rendah dari mikrokontroler, maka lampu tersebut akan “menyala” dan jika kaki 2 tersebut diberi logika “1”, maka lampu tersebut akan “padam”.

#### 4.5 Pengujian Rangkaian Penampil

Hasil pengamatan dalam rangkaian penampil LCD, yakni dapat melihat nilai arus yang terdeteksi dan petunjuk penggunaan alat tersebut. Untuk membuat nilai arus maksimum yang tertampil pada LCD sama dengan arus sebenarnya. Maka program penampil haruslah di kali 7. berikut ini program untuk menampil arus pada LCD.

Program penampil nilai arus:

```

Include <at89c51>
Include <lcd.h>
{
    pos_lcd(0x08);
    puti_lcdadc*7.2);
    for (j=0;j<10000;j++){{}
}
```

Pada program tersebut nilai ADC akan dikalikan 7,2 , agar tertampil arus yang mendekati nilai arus sebenarnya.

#### **4.6 Pengujian Rangkaian Secara Keseluruhan**

##### **4.6.1 Pengujian Beban Berlebih**

Pengujian terakhir adalah kerja semua rangkaian. Seluruh rangkaian dihubungkan sesuai dengan fungsinya. Hasil pengamatan secara keseluruhan untuk beban berlebih dapat dilihat pada tabel 4.3.

Tabel 4.3. Hasil pengamatan recloser

Perintah	Nilai Arus		Keadaan Recloser/Led		Tampilan LCD	Keterangan
	<1,8 A	>1,8A	Nyala	Mati		
1	√		-	√	"Program Siap"	
2	√	-	√	-	"NORMAL LOAD"	
3		√		√	"OVER LOAD"	Interval 30 Detik
4	√		√		"NORMAL LOAD"	
5		√		√	"OVER LOAD"	Interval 30 Detik
6	√		√		"NORMAL LOAD"	
7		√		√	"OVER LOAD"	Interval 30 Detik
8	√			√	"TEKAN TOMBOL"	

Objek dapat dikendalikan dengan alat tersebut, *interval* waktu 30 detik dan setelah 3 kali *siklus* recloser akan posisi *off* terus, sampai tombol di tekan kembali dan recloser tersebut akan bekerja seperti ini terus menerus.

#### 4.6.2 Pengujian Hubung Singkat

Hasil pengamatan saat fasa dan netral terhubung singkat, sistem recloser akan mati atau *error*, dan hubung singkat mengakibatkan putusnya *circuit breaker* yang dekat dengan recloser secara cepat. Recloser tidak dapat bekerja dengan waktu yang cepat dalam mendeteksi arus hubung singkat. Hubung singkat antara fasa dan netral juga dapat merusak komponen recloser.

## **BAB V**

### **KESIMPULAN DAN SARAN**

#### **5.1 Kesimpulan**

Berdasarkan perancangan, pembuatan, pengujian alat dan pembahasan, maka dapat diambil beberapa kesimpulan sebagai berikut.

1. Recloser akan memutuskan arus pada instalasi, saat Arus lebih dari 1,8 Ampere yang menunjukkan beban berlebih dari sistem.
2. Recloser akan kembali melewaskan arus setelah 30 detik dan mengecek nilai arus, jika kurang dari 1,8A, maka recloser akan melewaskan arus, dan jika lebih dari 1,8A maka recloser akan memutuskan arus kembali, dan seterusnya.
3. Recloser akan memutuskan arus selamanya, jika telah melakukan pemutusan arus sebanyak 3 kali.
4. Recloser tidak dapat digunakan untuk mengamankan hubung singkat, recloser tidak dapat bekerja secara cepat atau waktu untuk mendeteksi lebih lambat dari kenaikan arus yang disebabkan oleh gangguan hubung singkat.

## 5.2 Saran

Skripsi ini dapat dikembangkan lagi untuk mencapai hasil yang lebih baik.

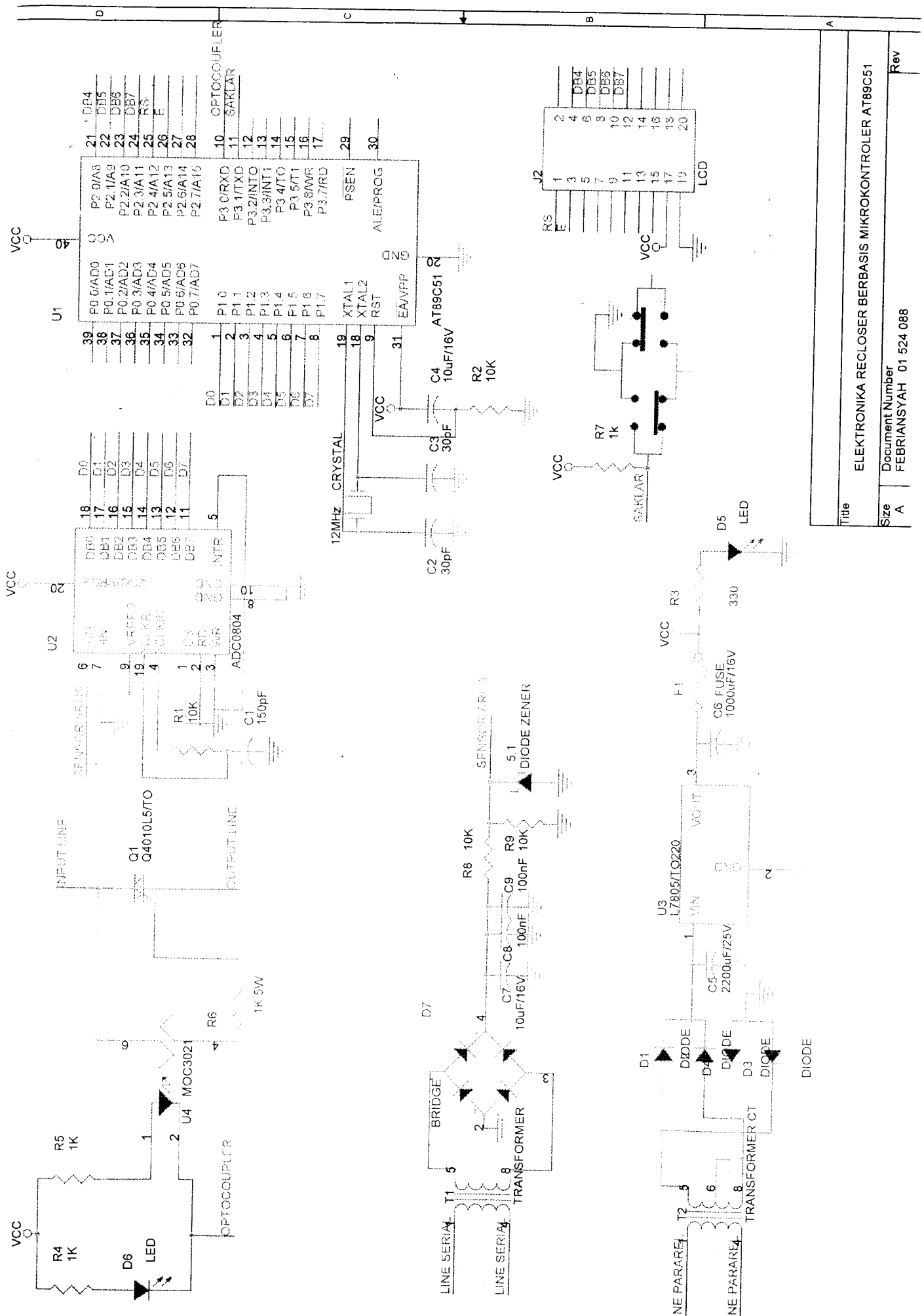
Beberapa pengembangan yang dimungkinkan adalah:

1. Dapat membuat sistem yang dapat mendeteksi arus hubung singkat, sehingga dapat membuat pengaman gangguan tersebut.
2. Dapat membuat sistem *Uninterruptible Power Suplier* (UPS).

## **DAFTAR PUSTAKA**

- [WIL96] William D. Stevenson, Jr. *Analisis Sistem Tenaga Listrik*. Terjemahan Kamal Idris. Bandung.: Erlangga 1996.
- [MAL03] Malvino, Albert Paul. *Prinsip-prinsip Elektronika*. Terjemahan Alb Joko Sutoso. Jakarta: Salemba Teknik, 2003.
- [NAL03] Nalwan, Paulus Andi. *Teknik Antarmuka dan Pemrograman Mikrokontroler AT89C51*. Jakarta: PT Elex Media Komputindo Kelompok Gramedia 2003.
- [PUT02] Putra, Agfianto Eko. *Belajar Mikrokontroller AT89C51/52/55*. Jogjakarta: C.V. Gava Media, 2002.
- [TOT05] Totok Budioko. *Belajar Dengan Mudah dan Cepat Pemrograman Bahasa C Dengan SDCC (Small Device C Compiler) Pada Mikrokontroler AT89x051/AT89C51/52*. Jogjakarta: Gaya Media 2005
- [BLO03] Blocher, R. *Dasar Elektronika*. Yogyakarta : Andi Yogyakarta, 2003

# *LAMPIRAN*

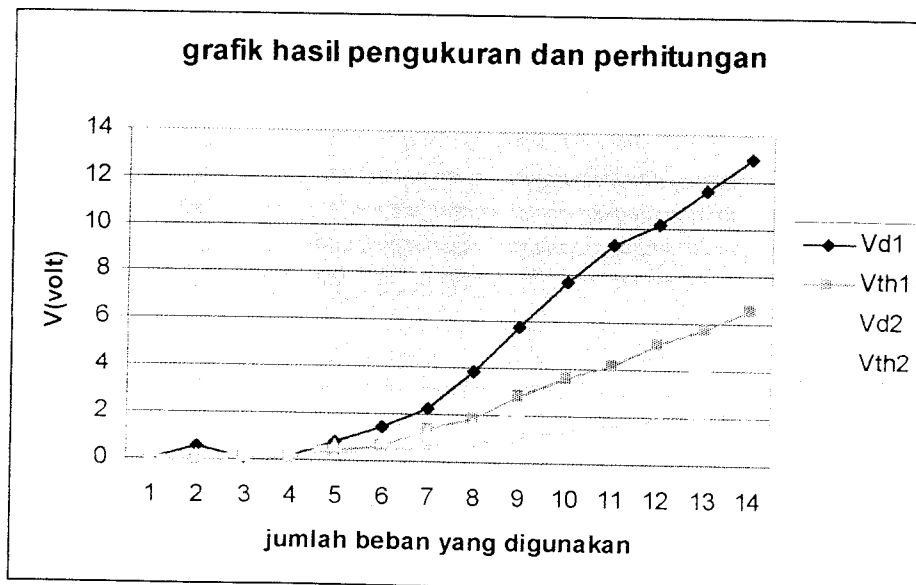


Title	Document Number	Rev
ELEKTRONIKA RECLOSER BERBASIS MIKROKONTROLER AT89C51	FEBRIANSYAH 01 524 088	A

Tabel nilai tegangan hasil pengukuran dan perhitungan pada rangkaian pendeksi  
Tegangan

No	Vs	HASIL PENGUKURAN		HASIL PERHITUNGAN	
		Vd1	Vth1	Vd2	Vth2
1	0.1	0	0	0.0636	0.0318
2	0.2	0.6	0.03	0.1272	0.0636
3	0.4	0.1	0.05	0.2544	0.1272
4	0.6	0.2	0.11	0.3816	0.1908
5	1.01	0.8	0.39	0.6424	0.3212
6	1.34	1.41	0.65	0.8522	0.4261
7	2	2.21	1.33	1.272	0.636
8	2.52	3.85	1.86	1.6027	0.8014
9	3.38	5.76	2.8	2.1497	1.0748
10	4.25	7.66	3.6	2.703	1.3515
11	5	9.3	4.2	3.18	1.59
12	5.8	10.2	5.1	3.6888	1.8444
13	6.4	11.6	5.8	4.0704	2.0352
14	7	13	6.6	4.452	2.226

Grafik hasil pengukuran dan perhitungan



## **Program Elektronika Recloser Berbasis Mikrokontroler AT89C51**

```
#include<at89x51.h>
#include<lcd.h>

#define recloser P3_0
#define saklar P3_1

unsigned int j,adc;
void tunda(unsigned int j)
{
    while(j)
    {
        TH1=0x3c;
        TL1=0xaf;
        TR1=1;
        while(!TF1);
        TR1=0;
        TF1=0;
        j--;
    }
}
void int_tim0(void) interrupt 1 using 2
{
    TF0 = 0; TR0 = 0;
    TH0=0x3c;
    TL0=0xaf;
    adc = P1;
    pos_lcd(0x08);
    puti_lcd(adc*7.2);
    for (j=0;j<10000;j++){}
    TR0 = 1;
}

void main()
{
    char n=0;
    EA = 1;
    ET0 = 1;
    init_lcd();
    clear_lcd();
    pos_lcd(0x00);
    puts_lcd("- Program Siap -");
    pos_lcd(0x40);
    puts_lcd("febri 01-088");
```

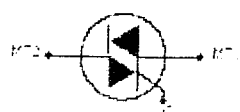
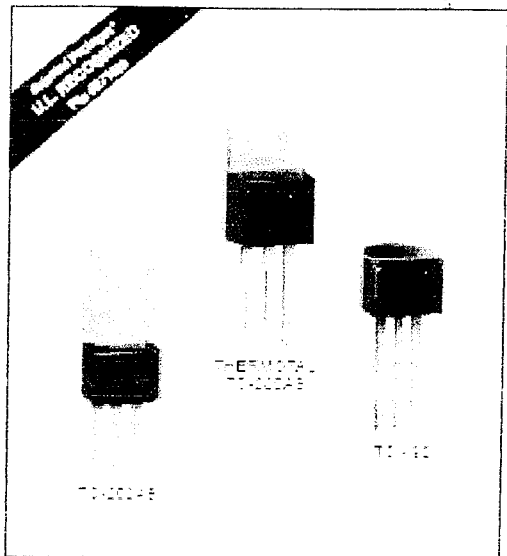
```

while(saklar);
EA=0;
recloser = 0;
tunda(300);
EA=1;
clear_lcd();
pos_lcd(0x00);
puts_lcd("Arus =      mA");
TR0 = 1;

while (1)
{
    EA=0;
    pos_lcd(0x40);
    puts_lcd("Normal Load ");
    EA=1;
    if(adc>250)
    {
        recloser = 1;
        EA=0;
        pos_lcd(0x40);
        puts_lcd("Over Load   ");
        EA=1;
        n++;
        tunda(100);
        EA=0;
        recloser = 0;
        tunda(300);
        EA=1;
    }

    if(n>2)
    {
        recloser = 1;
        n = 0;
        EA=0;
        pos_lcd(0x40);
        puts_lcd("Tekan Tombol   ");
        EA=1;
        while(saklar);
        EA=0;
        recloser = 0;
        tunda(300);
        EA=1;
    }
}
}

```



## T-Tracs

(0.6 - 25 Amperes)

### Product Description

The T-TRACs family of diodes is designed to provide a ruggedized alternative to standard肖特基二极管。它们具有低反向恢复时间，低反向漏电流，以及在恶劣的环境条件下（如高辐射和高温度）的高可靠性。

这些二极管采用肖特基接触技术，具有低反向恢复时间，低反向漏电流，以及在恶劣的环境条件下（如高辐射和高温度）的高可靠性。它们适用于各种应用，包括电源管理、开关电源、逆变器、整流器等。

这些二极管具有以下特点：  
 - 低反向恢复时间：约10纳秒  
 - 低反向漏电流：约10<sup>-12</sup>安培  
 - 工作温度范围：-55°C至+150°C  
 - 峰值反向电压：0.6V至25V  
 - 峰值正向电流：0.6A至25A  
 - 封装类型：TO-126、TO-3、TO-12

这些二极管具有以下特点：  
 - 低反向恢复时间：约10纳秒  
 - 低反向漏电流：约10<sup>-12</sup>安培  
 - 工作温度范围：-55°C至+150°C  
 - 峰值反向电压：0.6V至25V  
 - 峰值正向电流：0.6A至25A  
 - 封装类型：TO-126、TO-3、TO-12

这些二极管具有以下特点：  
 - 低反向恢复时间：约10纳秒  
 - 低反向漏电流：约10<sup>-12</sup>安培  
 - 工作温度范围：-55°C至+150°C  
 - 峰值反向电压：0.6V至25V  
 - 峰值正向电流：0.6A至25A  
 - 封装类型：TO-126、TO-3、TO-12

### Features

- Electrical deposited backaps
- Sharp-pointed junctions
- Reverse voltage — 0.6V to 25V
- Reverse current — 0.6A to 25A

## Electrical Specifications

Triacs

## Electrical Specifications

Figure 1. The relationship between the number of species and the area of forest.

卷之三

## Electrical Specifications

### General specifications

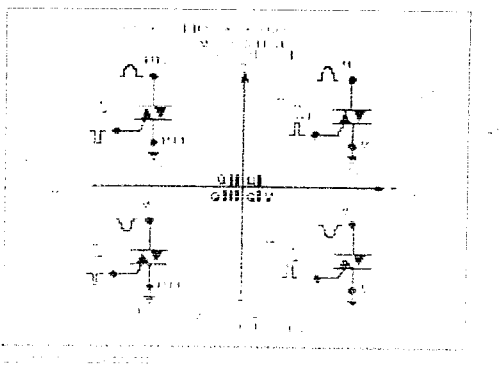
- For all models, the following parameters must be met:  
• Maximum voltage using standard lead-acid batteries  
• Maximum current draw  
• Existing insulation resistance (standard lead-acid battery)  
• Existing insulation resistance (standard gel-cell battery)  
• Existing insulation resistance (standard AGM battery)  
• Existing insulation resistance (standard Ni-Cd battery)  
• Existing insulation resistance (standard Ni-MH battery)  
• Existing insulation resistance (standard Li-Ion battery)  
• Existing insulation resistance (standard Li-Po battery)

### Electrical isolation

Required electrical isolations are:  
• 1000VDC between the vehicle body and the vehicle frame.  
• 1000VDC between the vehicle frame and the vehicle body.

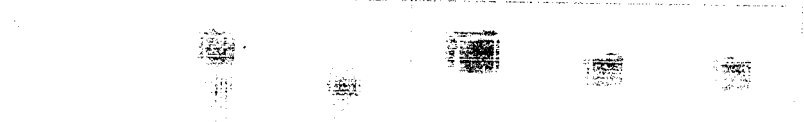
ELECTRICAL ISOLATION FROM LEADS TO MOUNTING TAB	
1000V	isolated
250V	isolated
500V	isolated

For 1000V isolations, see the following table:  
See Reference File EP-539



Reference File EP-539

1000VDC ISOLATION TEST CIRCUIT



TEST VOLTAGE	TEST TIME	TEST CURRENT	TEST VOLTAGE	TEST TIME	TEST CURRENT
1000VDC	1 min	< 10mA	1000VDC	1 min	< 10mA
250VDC	1 min	< 10mA	250VDC	1 min	< 10mA
500VDC	1 min	< 10mA	500VDC	1 min	< 10mA

For 1000V isolations, see the following table:  
See Reference File EP-539

## Electrical Specifications

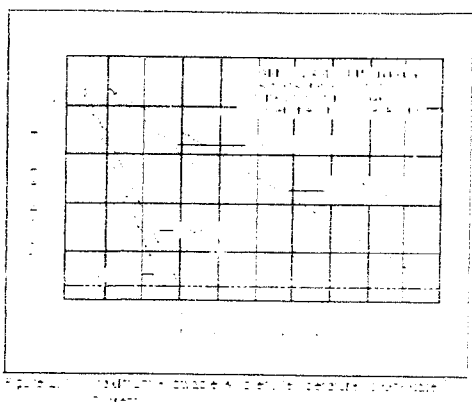


Fig. 2-1. Current vs. voltage curve for a 100W bulb.

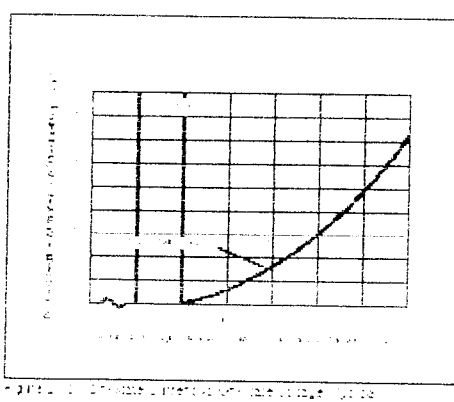


Fig. 2-2. Power vs. voltage curve for a 100W bulb.

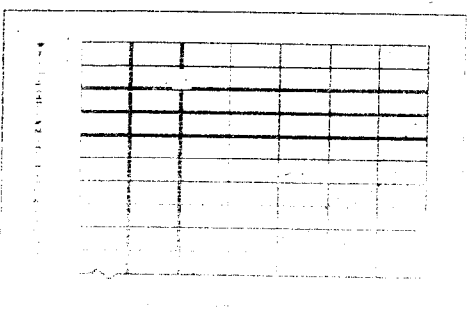


Fig. 2-3. Current vs. voltage curve for a 60W bulb.

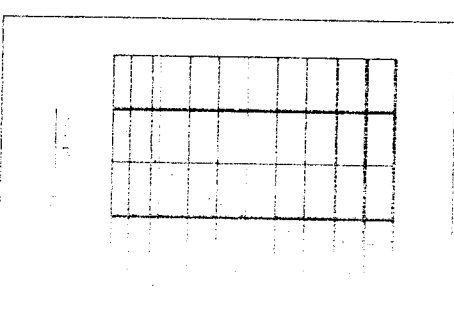


Fig. 2-4. Power vs. voltage curve for a 60W bulb.

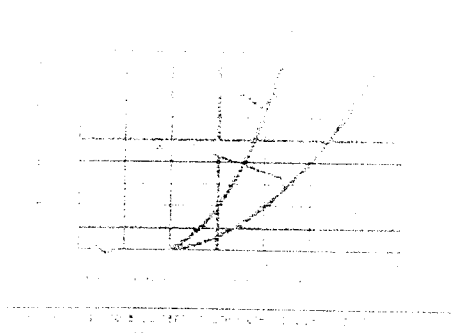


Fig. 2-5. Current vs. voltage curve for a 40W bulb.

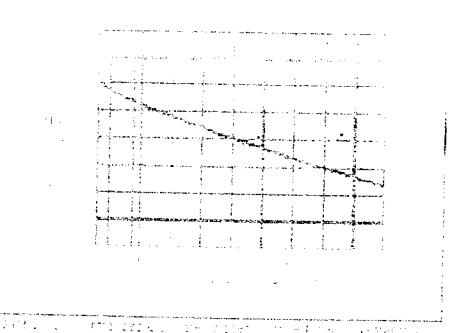


Fig. 2-6. Power vs. voltage curve for a 40W bulb.

## Electrical Specifications

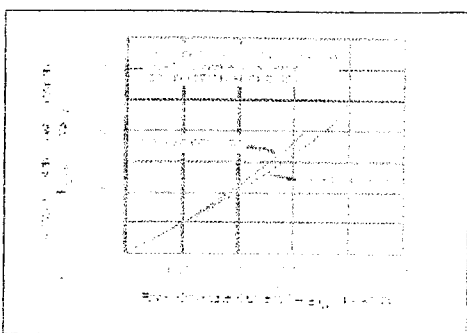


Figure 2-1 Power Dissipation (W) vs. Current (A) for C1 and C2

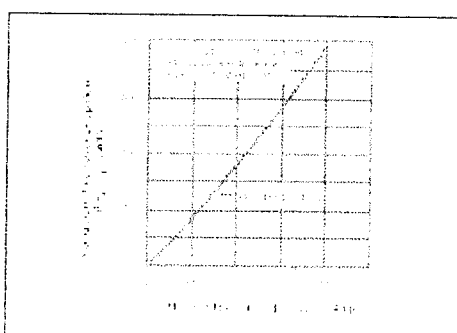


Figure 2-2 Power Dissipation (W) vs. Peak Reverse Current (A) for C1 and C2

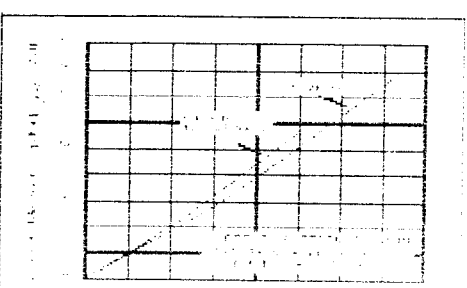


Figure 2-3 Power Dissipation (W) vs. Junction Temperature (°C) for C1 and C2

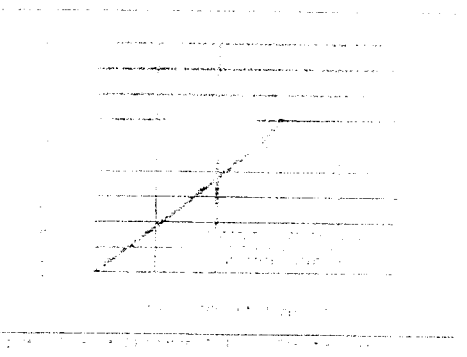
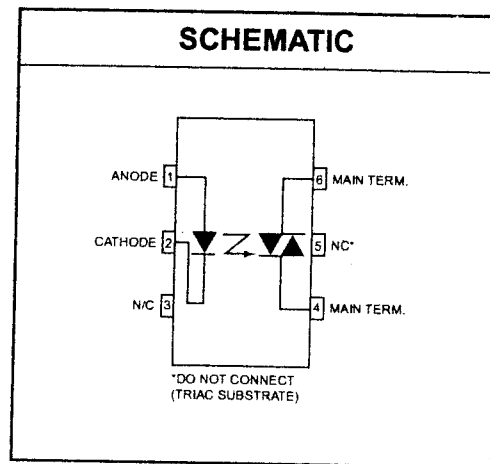
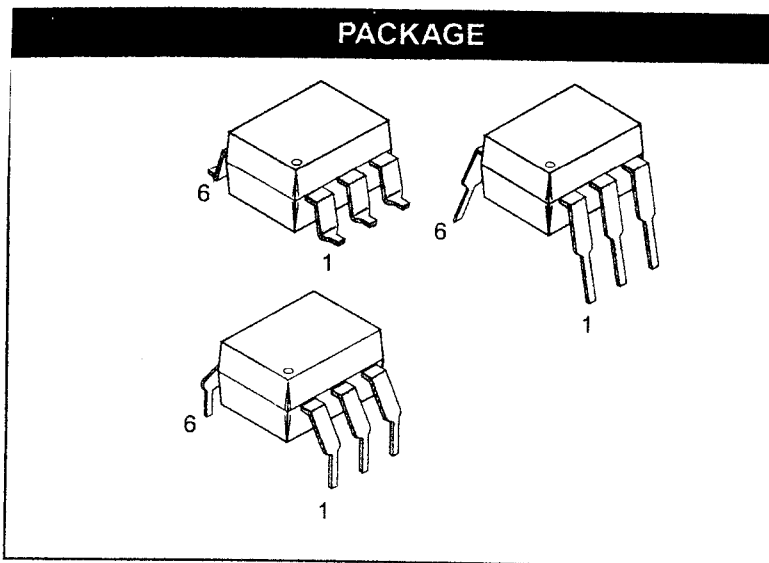


Figure 2-4 Power Dissipation (W) vs. Frequency (Hz) for C1 and C2

Notes: 1. All curves are based on a junction temperature of 25°C. 2. All curves are based on a peak reverse voltage of 10V. 3. All curves are based on a current of 1A. 4. All curves are based on a frequency of 1000Hz.

MOC3010M MOC3011M MOC3012M MOC3020M MOC3021M MOC3022M MOC3023M



## DESCRIPTION

The MOC301XM and MOC302XM series are optically isolated triac driver devices. These devices contain a GaAs infrared emitting diode and a light activated silicon bilateral switch, which functions like a triac. They are designed for interfacing between electronic controls and power triacs to control resistive and inductive loads for 115 VAC operations.

## FEATURES

- Excellent  $I_{FT}$  stability—IR emitting diode has low degradation
- High isolation voltage—minimum 5300 VAC RMS
- Underwriters Laboratory (UL) recognized—File #E90700
- Peak blocking voltage
  - 250V-MOC301XM
  - 400V-MOC302XM
- VDE recognized (File #94766)
  - Ordering option V (e.g. MOC3023VM)

## APPLICATIONS

- Industrial controls
- Traffic lights
- Vending machines
- Solid state relay
- Lamp ballasts
- Solenoid/valve controls
- Static AC power switch
- Incandescent lamp dimmers
- Motor control



## 6-PIN DIP RANDOM-PHASE OPTOISOLATORS TRIAC DRIVER OUTPUT (250/400 VOLT PEAK)

MOC3010M MOC3011M MOC3012M MOC3020M MOC3021M MOC3022M MOC3023M

ABSOLUTE MAXIMUM RATINGS ( $T_A = 25^\circ\text{C}$ unless otherwise noted)				
Parameters	Symbol	Device	Value	Units
<b>TOTAL DEVICE</b>				
Storage Temperature	$T_{STG}$	All	-40 to +150	°C
Operating Temperature	$T_{OPR}$	All	-40 to +85	°C
Lead Solder Temperature	$T_{SOL}$	All	260 for 10 sec	°C
Junction Temperature Range	$T_J$	All	-40 to +100	°C
Isolation Surge Voltage <sup>(1)</sup> (peak AC voltage, 60Hz, 1 sec duration)	$V_{ISO}$	All	7500	Vac(pk)
Total Device Power Dissipation @ 25°C	$P_D$	All	330	mW
Derate above 25°C			4.4	mW/°C
<b>EMITTER</b>				
Continuous Forward Current	$I_F$	All	60	mA
Reverse Voltage	$V_R$	All	3	V
Total Power Dissipation 25°C Ambient	$P_D$	All	100	mW
Derate above 25°C			1.33	mW/°C
<b>DETECTOR</b>				
Off-State Output Terminal Voltage	$V_{DRM}$	MOC3010M/1M/2M MOC3020M/1M/2M/3M	250 400	V
Peak Repetitive Surge Current (PW = 1 ms, 120 pps)	$I_{TSM}$	All	1	A
Total Power Dissipation @ 25°C Ambient	$P_D$	All	300	mW
Derate above 25°C			4	mW/°C

### Note

1. Isolation surge voltage,  $V_{ISO}$ , is an internal device dielectric breakdown rating. For this test, Pins 1 and 2 are common, and Pins 4, 5 and 6 are common.



# 6-PIN DIP RANDOM-PHASE OPTOISOLATORS TRIAC DRIVER OUTPUT (250/400 VOLT PEAK)

**MOC3010M MOC3011M MOC3012M MOC3020M MOC3021M MOC3022M MOC3023M**

## ELECTRICAL CHARACTERISTICS ( $T_A = 25^\circ\text{C}$ Unless otherwise specified)

### INDIVIDUAL COMPONENT CHARACTERISTICS

Parameters	Test Conditions	Symbol	Device	Min	Typ	Max	Units
<b>EMITTER</b>							
Input Forward Voltage	$I_F = 10 \text{ mA}$	$V_F$	All		1.15	1.5	V
Reverse Leakage Current	$V_R = 3 \text{ V}, T_A = 25^\circ\text{C}$	$I_R$	All		0.01	100	$\mu\text{A}$
<b>DETECTOR</b>							
Peak Blocking Current, Either Direction	Rated $V_{DRM}$ , $I_F = 0$ (note 1)	$I_{DRM}$	All		10	100	nA
Peak On-State Voltage, Either Direction	$I_{TM} = 100 \text{ mA peak}, I_F = 0$	$V_{TM}$	All		1.8	3	V

## TRANSFER CHARACTERISTICS ( $T_A = 25^\circ\text{C}$ Unless otherwise specified.)

DC Characteristics	Test Conditions	Symbol	Device	Min	Typ	Max	Units
LED Trigger Current	Voltage = 3V (note 3)	$I_{FT}$	MOC3020M			30	mA
			MOC3010M			15	
			MOC3021M			10	
			MOC3011M			5	
			MOC3022M				
			MOC3012M				
			MOC3023M				
Holding Current, Either Direction		$I_H$	All		100		$\mu\text{A}$

### Note

1. Test voltage must be applied within dv/dt rating.
2. This is static dv/dt. See Figure 5 for test circuit. Commutating dv/dt is a function of the load-driving thyristor(s) only.
3. All devices are guaranteed to trigger at an  $I_F$  value less than or equal to max  $I_{FT}$ . Therefore, recommended operating  $I_F$  lies between max  $I_{FT}$  (30 mA for MOC3020M, 15 mA for MOC3010M and MOC3021M, 10 mA for MOC3011M and MOC3022M, 5 mA for MOC3012M and MOC3023M) and absolute max  $I_F$  (60 mA).

**6-PIN DIP RANDOM-PHASE  
OPTOISOLATORS TRIAC DRIVER OUTPUT  
(250/400 VOLT PEAK)**

MOC3010M MOC3011M MOC3012M MOC3020M MOC3021M MOC3022M MOC3023M

Fig. 1 LED Forward Voltage vs. Forward Current

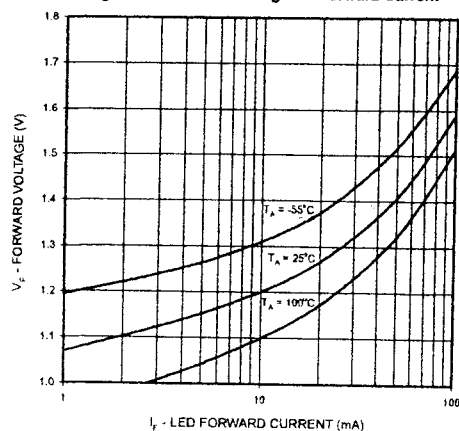


Fig. 2 On-State Characteristics

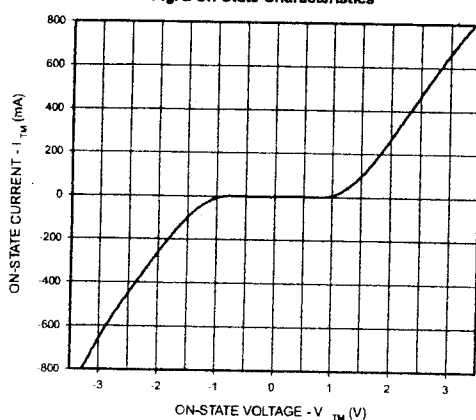


Fig. 3 Trigger Current vs. Ambient Temperature

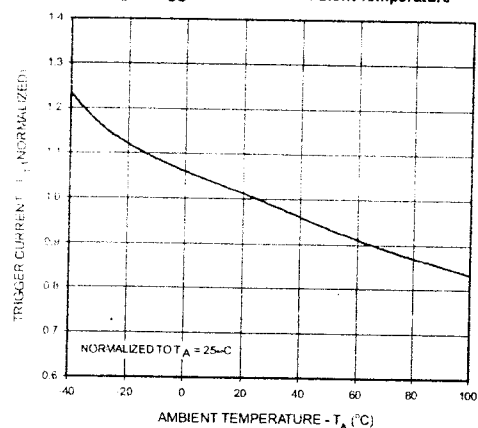


Fig. 4 LED Current Required to Trigger vs. LED Pulse Width

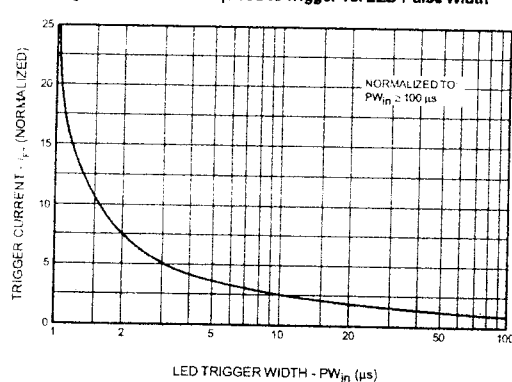


Fig. 5 dv/dt vs. Temperature

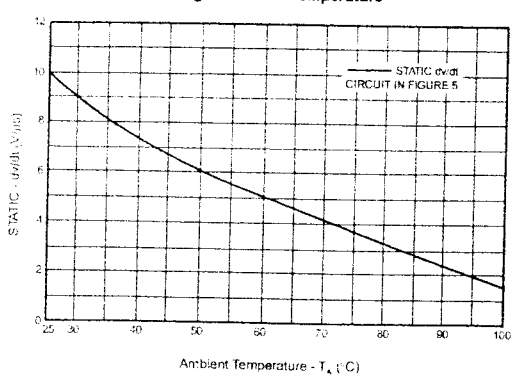
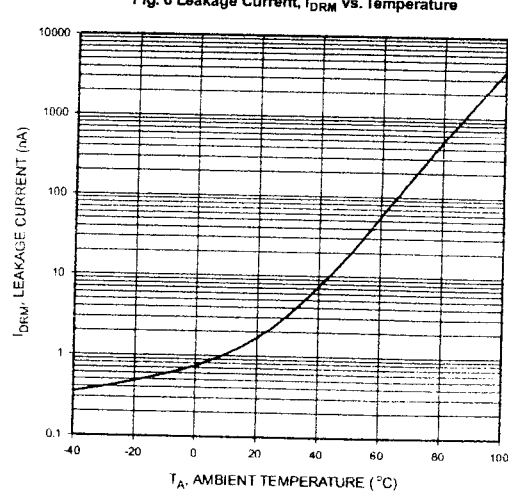


Fig. 6 Leakage Current, I<sub>DRM</sub> vs. Temperature





## AT89C51 In-Circuit Programming

This application note illustrates the in-circuit programmability of the Atmel AT89C51 Flash-based microcontroller. Guidelines for the addition of in-circuit programmability to AT89C51 applications are presented along with an application example and the modifications required to support in-circuit programming. A method is then shown by which the AT89C51 microcontroller in the application can be reprogrammed, notably, over a commercial telephone line. The circuitry described in this application note supports five volt programming only, requiring the use of an AT89C51-XX-5. The standard AT89C51 requires 12 volts for programming. The software for this application may be obtained by downloading from Atmel's S: (408) 436-4309.

### General Considerations

Circuitry added to support AT89C51 in-circuit programming should appear transparent to the application when programming is not taking place.

V<sub>VPP</sub> must be held high during programming. In applications which do not utilize external program memory, this pin may be permanently strapped to V<sub>CC</sub>. Applications utilizing external program memory require that this pin be held low during normal operation.

RST must be held active during programming. A means must be provided for overriding the application reset circuit, which typically asserts RST only briefly after power is applied.

S<sub>EN</sub> must be held low during programming, but must not be driven during normal operation.

LE/PROG is pulsed low during programming, but must not be driven during normal operation.

During programming, AT89C51 I/O ports are used for the application of mode select, addresses and data, possibly requiring that the controller be isolated from the application circuitry. How this is done is application dependent and will be addressed here only in general terms.

#### Port Used for Input

During programming, the controller must be isolated from signals sourced by the application circuitry. A buffer with three-state outputs might be inserted between the application circuitry and the controller, with the buffer outputs three-stated when programming is enabled. Alternately, a multiplexer might be used to select between signal sources, with signals applied to the controller by either the application circuitry or the programmer circuitry.

#### Port Used for Output

No circuit changes are required if the application circuitry can tolerate the state changes which occur at the port during programming. If the prior state of the application circuitry must be maintained during programming, a latch might be inserted between the controller and the application circuitry. The latch is enabled during programming, preserving the state of the application circuitry.

### An Application Example

The AT89C51 application shown in Figure 1 is an implementation of a moving display. This application was selected for its simplicity and ability to show graphically the results of in-circuit reprogramming. The text to be displayed is programmed into the controller as part of its firmware, and cannot be changed without reprogramming the device.

## 8-Bit Microcontroller with Flash

### Application Note

0287D-B-9/97



displayed text is presented in one of two modes selected by the four-position DIP switch. In the first mode, character at a time enters the display from the right moves quickly to the left through each element of the display to its final position in the assembled message. In second mode, the message moves through the display, right to left, with the display acting as a window onto message. This mode is familiar as the method often used in displays of stock prices.

Output consists of four DL1414T, four-digit, 17-segment alphanumeric displays with integral decoders and drivers. This yields 16 total display elements, each capable of displaying digits 0-9, the upper case alphabet, and some punctuation characters. The displayable character codes ASCII 20H-5FH.

Power-on reset circuit and a 6-MHz crystal oscillator complete the application. Neither external program memory nor external data memory is used.

### **Modifications to the Application to Support Circuit Programming**

Figure 2 shows the application modified for in-circuit programming.

It is assumed that the programmer, when inactive, will neither drive nor excessively load the application.

Since the application does not use external program memory, EA/VPP on the controller is connected to V<sub>CC</sub>. This meets the requirement for programming.

The reset circuit has been modified by the addition of two transistors, which allow RST on the controller to be forced high by the programmer.

EN and ALE/PROG, unused in the basic application, are under the direct control of the programmer.

Programming requires programmer access to all of the four AT89C51 I/O ports, as documented in the data sheet. The programmer is connected directly to those controller pins which are unused by the application, while access to pins used by the application requires special treatment, as explained in the following paragraphs.

The least significant four bits of the address generated by the programmer are multiplexed onto port one of the controller with the data from the DIP switch. Note that the four transistors added at the switch are not required in the basic application, since the AT89C51 provides internal pull-ups for port one.

During the normal operation of the application, controller ports zero and two provide data and control signals (respectively) to the displays. During programming and program verification, the programmer asserts control of port zero and part of port two. The programmer is connected to ports zero and two without buffering, since, when inactive, its presence does not affect the normal operation of the application.

A transparent latch has been added between port two of the controller and the display control inputs. The latch holds the display control signals inactive during programming, which eliminates erratic operation of the displays due to programmer activity on ports zero and two. No isolation of the display data inputs is required, since data applied to the inputs is ignored when the control signals are inactive.

The AT89C51 reset circuit, input multiplexer and output latch are controlled by a single signal generated by the programmer. During programming, reset is asserted, the multiplexer switches inputs, and the latch freezes the display control lines.

To ensure that the display control lines are in a known state before they are latched, an AT89C51 external interrupt is used to allow the programmer to signal the application before asserting reset. The application firmware responds to the interrupt by displaying a message and deactivating the display control lines.

After programming, when reset is deasserted, the controller ports are high as the latch becomes transparent. Since the display control inputs are inactive high, the display contents are not disturbed until the new program writes the display.

Although not essential to this application, it might be imperative in some applications that the state of the peripheral circuitry not be disturbed during programming.

### **The Programmer**

The programmer (Figure 3) generates the addresses, data and control signals necessary to program the AT89C51 embedded in the application.

The programmer circuitry consists of an AT89C51 and an RS-232 level translator. The controller runs at 11.0592 MHz, which allows the serial port to operate at a number of standard baud rates. A Maxim MAX232 line driver/receiver produces RS-232 levels at the serial interface while requiring only a five volt supply.

Many of the signals generated by the programmer are connected directly, without buffering, to the AT89C51 in the application. These signals, when inactive, are not three-state, but are pulled high. The AT89C51 has internal pull-ups of approximately three Kohms on ports one, two and three. Because port zero does not have internal pull-ups, external pull-ups of ten Kohms have been added to permit proper operation of program verification mode. The sample application operates correctly in this environment. If required for compatibility with an application, programmer signals may be buffered with three-state buffers similar to the 74xx125.

The AT89C51 in the programmer does not utilize external program or data memory, which would require sacrificing needed I/O pins. This requires that program code and I/O buffers be kept small enough to fit in on-chip memory.

## Note Programming Over a Commercial Phone Line

programmer and display application described previously are connected to a phone line via a modem at a site. Using a personal computer with a modem, a can upload a new program containing a new message, which is programmed into the AT89C51 embedded in application. When programming is complete, the application executes the new program, which displays the new message.

### Local Station

local station in the test configuration consists of an IBM AT-class computer connected to a Hayes-compatible, netheus 1200 baud modem. The modem was selected because it was inexpensive and available. A faster modem could be used if desired, although once the file transmission time is reduced below one minute, further reductions in transmission time do not further reduce connect times. A possible advantage to higher transmission speeds is the automatic error detection and correction available in some high speed modems.

comm Plus version 2.01, a commercial data communications package, is used to configure the modem, set up communications parameters, and establish a link with the remote modem. Procomm Plus includes a macro language called ASPECT, which allows the user to write and compile programs which implement custom file transfer protocols. A sample ASPECT script was written to read the contents of a program file and upload it to the remote programmer.

The file transfer protocol (FTP) implemented is a simple send-and-wait, packet-oriented protocol. The transmit and receive modes of the FTP are illustrated by the flowcharts figures 4 and 5, respectively. The transmitter sends each packet without flow control and waits for a response. The programmer (the receiver) reads and dissects the packet while calculating a checksum. If the calculated checksum is good, the programmer acknowledges the packet by sending an ACK. If the checksum is in error, the programmer negatively acknowledges the packet by sending a NAK. On receipt of an ACK, the transmitter sends the next packet. If the transmitter receives a NAK, it resends the same packet. Transmission proceeds in this manner until the entire file has been transferred.

The programmer might respond to a packet by sending a N, which indicates that a non-recoverable error has occurred and that the transmitter should immediately abort the file transfer. If the programmer fails to respond to a packet within a limited period of time, the transmitter will end the same packet. The transmitter will continue to end the same packet until a valid response is received until the allowed number of attempts is exceeded, at which time the file transfer is aborted.

After each packet is received and validated by the programmer, the data contained in the packet is programmed into the AT89C51 controller in the application. After programming, the data is read back from the controller and verified against the received packet data. Successful verification indicates successful programming, causing the programmer to send ACK to the transmitter. If programming fails, the programmer sends CAN to signal the transmitter to abort the file transfer.

The simplicity of the FTP reduces the amount of AT89C51 program memory used in the programmer. The send-and-wait nature of the FTP allows inter-packet delays due to AT89C51 program and erase times to be easily absorbed. Support for program verification is transparent, requiring no explicit command or result codes, or additional data transfers.

The files which are uploaded to the programmer are created with the tools in the Intel MCS-51 Software Development Package for the IBM PC. Included in the package are the MCS-51 Macro Assembler, MCS-51 Relocator and Linker, and a useful utility, OH. OH converts an absolute 8051 object file to an equivalent ASCII hexadecimal object file.

The records in the hex file produced by the OH utility serve, unchanged, as the packets in the FTP described above; no service fields need to be added. The colon which begins each record serves as the packet signature field. The load address field serves as the packet sequence number. A checksum is provided as the last field in each record. Since seven-bit ASCII coding is utilized, the eighth bit of each byte is available to be used for parity checking.

Because the AT89C51 in the programmer does not utilize external data memory, necessary packet buffering must be done using internal RAM. Limited memory precludes the use of conventional FTPs which utilize packets of 128 bytes and larger. The hex packet format used in this application limits packet data fields to 16 or fewer entries, requiring little memory for buffering.

The ready availability of a utility for creating the packetized program file, combined with small packet size and adequate error checking, makes the hex packet format a near ideal solution for this application. A disadvantage is the use of ASCII, which requires each program data byte to be expressed as two hex characters. This demands that nearly twice as many bytes be transferred as might otherwise be required. This is not a severe limitation, however, since typical file transfer times are less than one minute. Overall, the simplicity of the custom FTP/hex packet format implementation outweighs the drawbacks.

### Remote Station

The remote station in the test configuration consists of the display application and programmer circuits, described previously, connected to a Hayes-compatible, Prometheus





baud modem. During normal operation, the application executes its internal program while the modem and programmer monitor the phone line for incoming calls.

If a call has been detected and a connection established, the programmer forces the application to suspend execution of its program. The new program is then downloaded and programmed into the AT89C51 embedded in the application. When programming is complete, the application is allowed to begin execution of its new program, and the programmer returns to monitoring the phone line for the next call.

The programmer powers up with its programming controls inactive, allowing the application to run normally. After configuring the modem to answer incoming calls, the programmer puts itself to sleep. The programmer will not disturb the application until a new program is to be downloaded.

The programmer controls the modem by sending ASCII command strings over the serial interface, to which the modem responds with Hayes-style ASCII numeric codes. The software is designed for use with Hayes-compatible items, which includes the Prometheus ProModem 1200 board here.

The serial interface, through which the programmer connects to the modem, supports two handshaking signals, RTS and DSR. On power up, the programmer asserts RTS, to which the modem responds by asserting DSR. If the modem should fail to respond to any command, including the command to hang up, the programmer deasserts RTS, which forces the modem to drop the line.

The modem monitors the phone line while the programmer sleeps, waiting for an incoming call. When a call is detected, the modem answers and attempts to establish communication with the caller. If a connection is established, the modem sends a code to the programmer, waking it up. The programmer verifies the connect code and begins polling for a valid packet header.

Incoming packets must arrive fewer than thirty seconds apart, or the modem drops the line (hangs up) and the programmer returns to sleep, waiting for the next call. If the programmer hangs up, the thirty second period must expire before another call will be answered. Calls incoming during the reset delay period are ignored.

If a valid packet header is received prior to the expiration of the reset delay period, the programmer will attempt to read and validate the incoming packet. At any time during packet reception, an invalid character, parity error or timing error during character reception will cause the partial packet to be declared invalid and discarded.

Two packet types are defined: data and end-of-file. A data packet contains five fields in addition to the packet header, one of which is a variable length data field. The data field contains program data to be written into the AT89C51 controller

in the application. The load address field contains the address at which the data is to be written. The end-of-file packet contains the same fields as the data packet, except that the data field is empty. This packet type has special meaning to the programmer, as explained below.

Any packet which contains an invalid record type, record length or checksum is invalid. Program data accumulated during the processing of an invalid packet is discarded. The programmer sends a NAK to the transmitter to signal reception of an invalid packet and resumes polling for a valid packet header.

Receipt of the first valid data packet causes the programmer to interrupt the application controller. The controller responds to the interrupt by abandoning execution of its usual program and displaying a message indicating that programming is taking place. If this is the first valid data packet since power was applied or an end-of-file packet was received, the programmer asserts the control signals necessary to erase the program memory in the application controller. The programmer then places the controller in programming mode.

The first and subsequent valid data packets are dissected as they are received and the data which they contain is programmed into the application controller at the address indicated in the packet load address field. After programming, the data is read back from the controller and verified against the received packet data. Successful verification indicates that programming was successful, causing the programmer to send ACK to the transmitter. The programmer then resumes polling for a valid packet header, subject to the thirty second reset delay.

If programming fails, the programmer sends CAN to signal the transmitter to abort the file transfer. The modem drops the line and the programmer returns to sleep, waiting for the next call. The application controller is left in programming mode, preventing it from executing the incomplete or invalid program which it contains.

It is important to note that invalid packets are NEVER programmed into the application controller. To do so would require that the program memory in the controller be completely erased before the error could be corrected, causing the non-recoverable loss of all previous program data.

Upon receipt of an end-of-file packet, the programmer returns its control outputs to the inactive, power on state, allowing the application controller to begin execution of the new program. The programmer then resumes polling for a valid packet header, subject to the thirty second reset delay.

If a valid packet is received prior to the expiration of the thirty second delay, another programming cycle begins, which can only be terminated by the reception of a valid end-of-file packet.

If the reset delay expires prior to the reception of a valid end-of-file packet, the modem will drop the line and the programmer will return to sleep, waiting for the next call. In this case, the application controller is left in programming mode, preventing it from executing its program. To return the application to normal operation, another call must be received, and a valid program file uploaded, terminated by an end-of-file packet.

## Setting Up the Hardware

### Local Station

Connect the IBM PC to the ProModem 1200 through one of the system COM ports. Connect the modem to an analog telephone line and set the modem switches as indicated below.

#### Switch settings:

1	ON
2	ON
3	OFF
4	ON
5	OFF
6	ON
7	OFF
8	OFF
9	OFF
10	OFF

### Remote Station

Connect the display application/programmer to the second ProModem 1200 through the programmer serial port. Connect the modem to an analog telephone line and set the modem switches as indicated below.

Turn the modem on and apply power to the display application/programmer. The application will begin executing its program, if it contains one. The programmer will initialize the modem, as shown by the activity on the modem status indicators.

#### Switch settings:

1	ON
2	ON
3	ON
4	OFF
5	ON
6	ON
7	ON
8	OFF
9	OFF
10	OFF

## Installing and Configuring Procomm Plus, Version 2.01

Install Procomm Plus as instructed in the User Manual. When prompted to specify the modem in use, select 'Prometheus ProModem 1200' from the list.

Run Procomm Plus and create a dialing directory entry for the remote station. The baud rate must be set to 1200, parity to EVEN, number of data bits to 7, number of stop bits to 1, and flow control to HALF.

Enter the Setup utility (ALT-S). Select 'PROTOCOL OPTIONS', then 'EXTERNAL PROTOCOL OPTIONS' from the menus and modify the entry for 'EXTERNAL PROTOCOL 1' as indicated below.

#### EXTERNAL PROTOCOL 1:

A - NAME:	<any name>
B - TYPE:	ASPECT
C - UPLOAD COMMAND:	ATX.ASX

Note: 'ATX.ASX.' is the filename of the compiled ASPECT script to be associated with External Protocol 1.

Save the changes and exit the Setup utility.

## Creating a Hex File

The hex files which are uploaded to the programmer are created with the tools in the Intel MCS-51 Software Development Package for the IBM PC. In the example below, the 8051 assembler source file is called 'TEST.ASM'.

Assemble the source file 'TEST.ASM' and create the object file 'TEST.OBJ':

ASM51 TEST.ASM

Link and locate the object file 'TEST.OBJ' and create the absolute object file 'TEST.ABS':

RL51 TEST.OBJ TO TEST.ABS

Convert the absolute object file 'TEST.ABS' to the hex file 'TEST.HEX':

OH TEST.ABS TO TEST.HEX

The resulting file, 'TEST.HEX' is ready to be uploaded.

Note: ASM51 is version 2.3; RL51 is version 3.1; OH is version 1.1.

## Uploading a Hex File

Run Procomm Plus and use the proper dialing directory entry to dial the remote station.

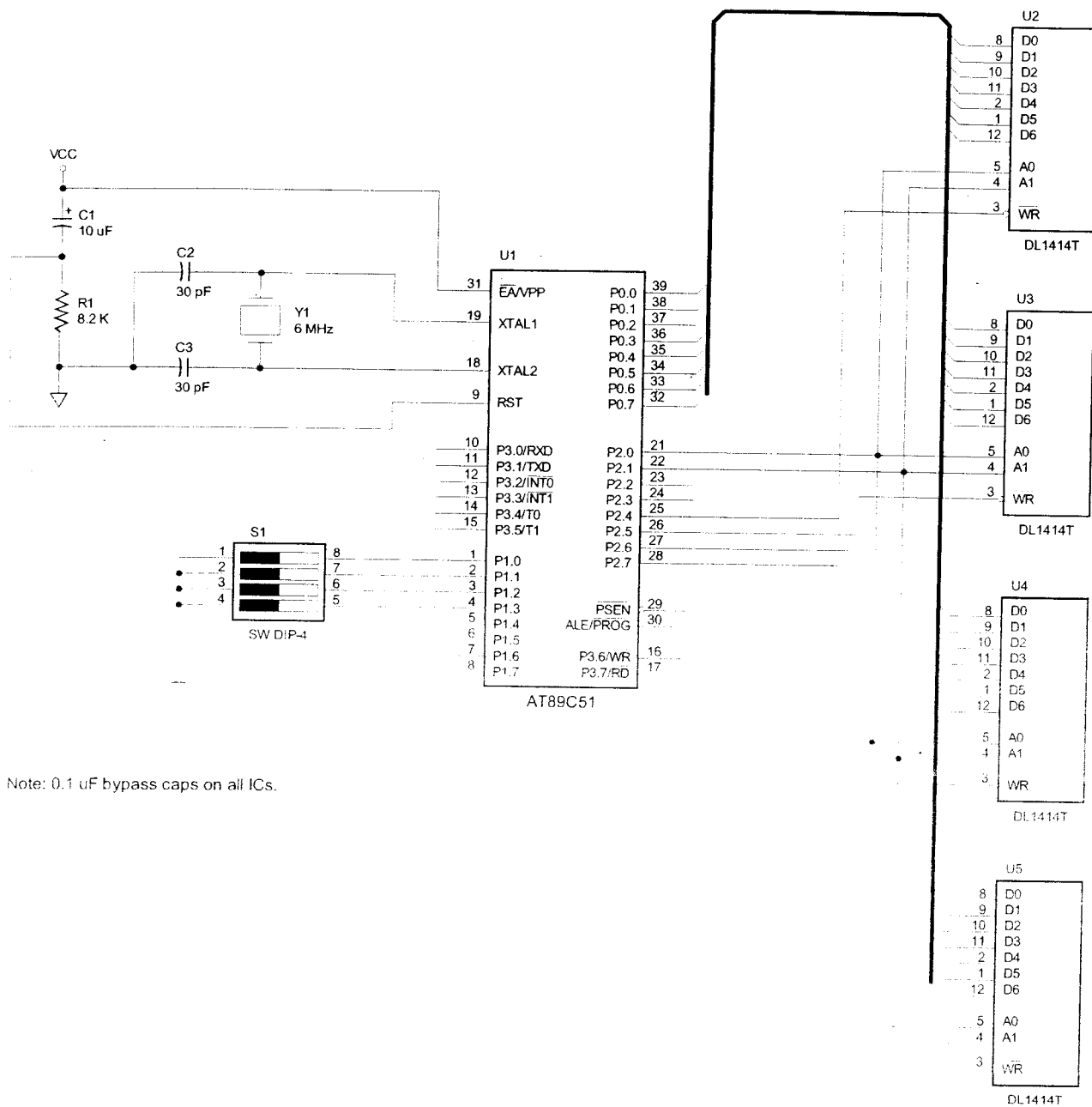
After the connection with the remote station is established, press the 'PgUp' key and select '1' (External Protocol 1) from the menu of upload protocols. This will execute the ASPECT script associated with External Protocol 1.

When prompted, enter the name of the file to be uploaded, including the extension and path, if required.

When the upload is complete, press ALT-H to hang up and ALT-X to exit Procomm Plus and return to DOS.



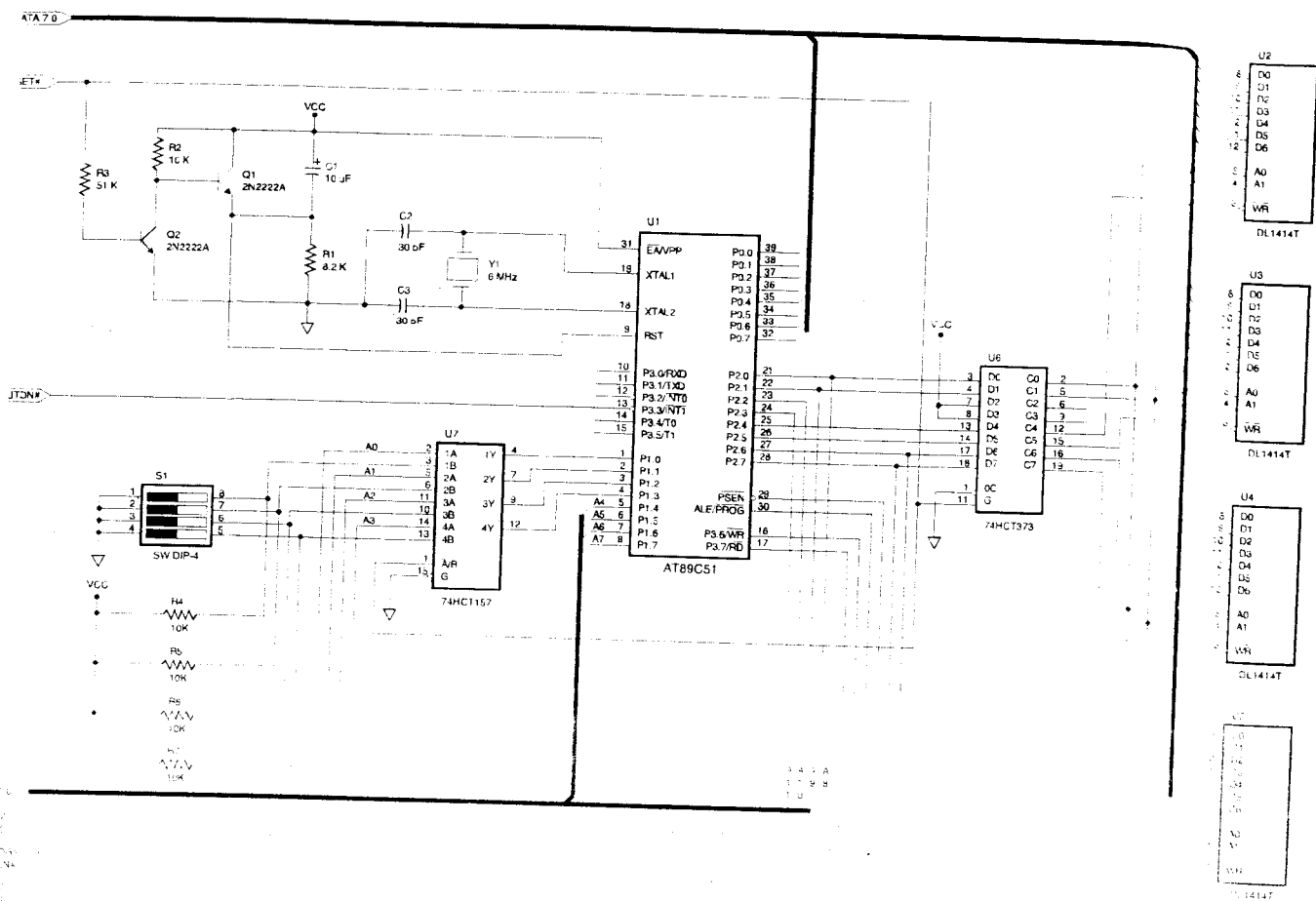
Figure 1. AT89C51 Moving Display Application Example



Note: 0.1 uF bypass caps on all ICs.

## Microcontroller

ure 2. AT89C51 Moving Display Application Modified for In-Circuit Programming



AMIC



### Figure 3. AT89C51 Programmer

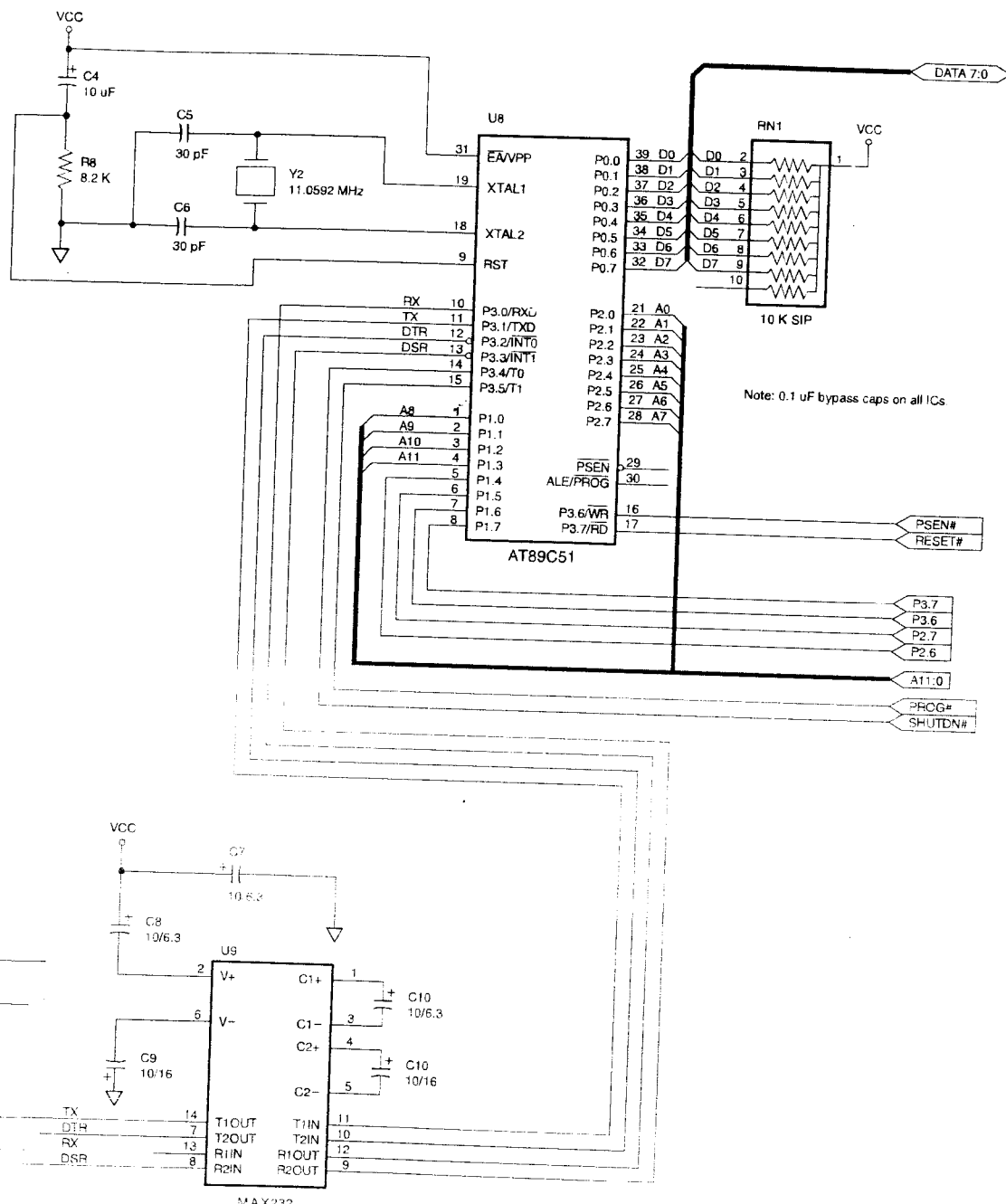


Figure 4. FTP Transmit Mode

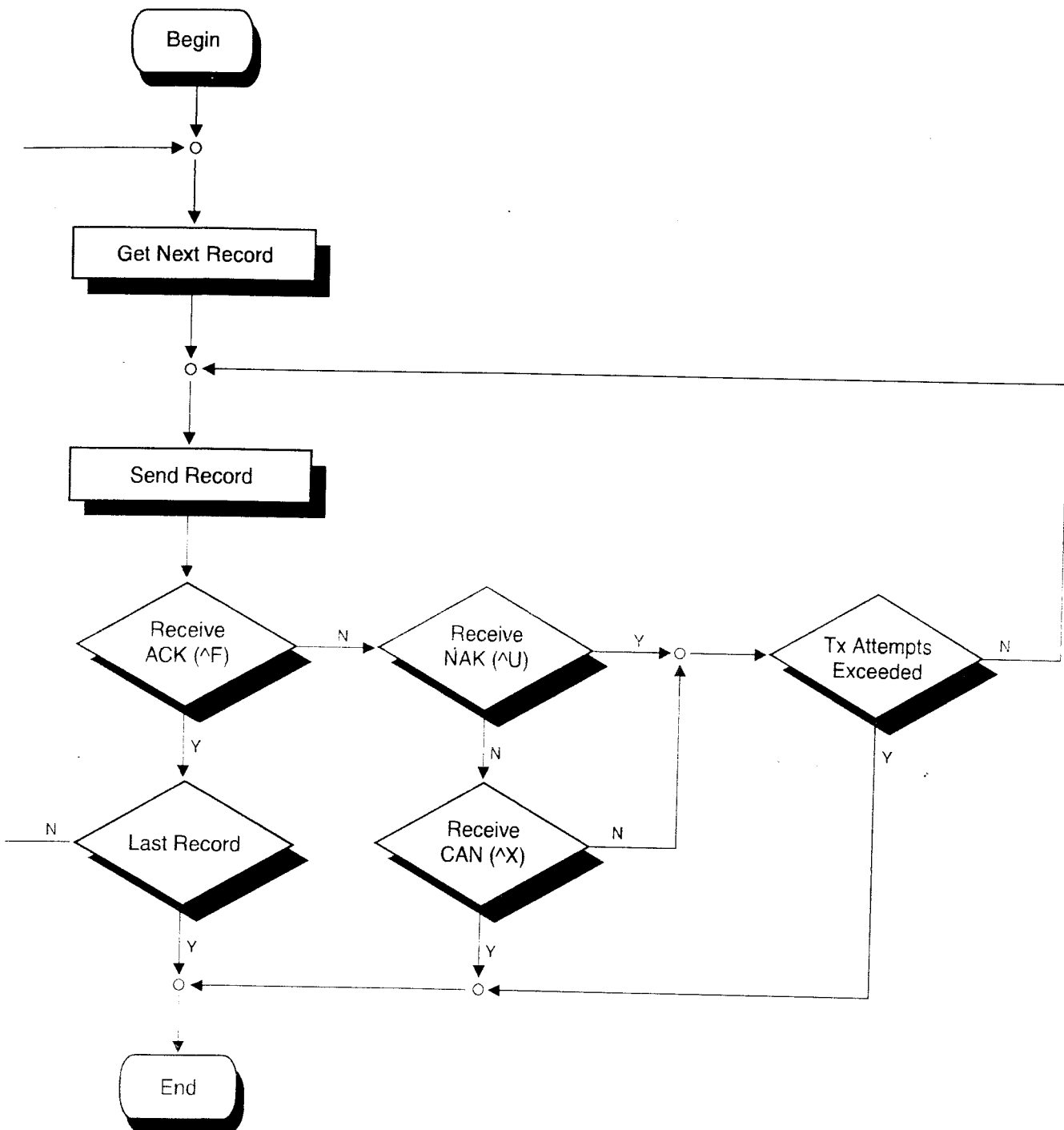
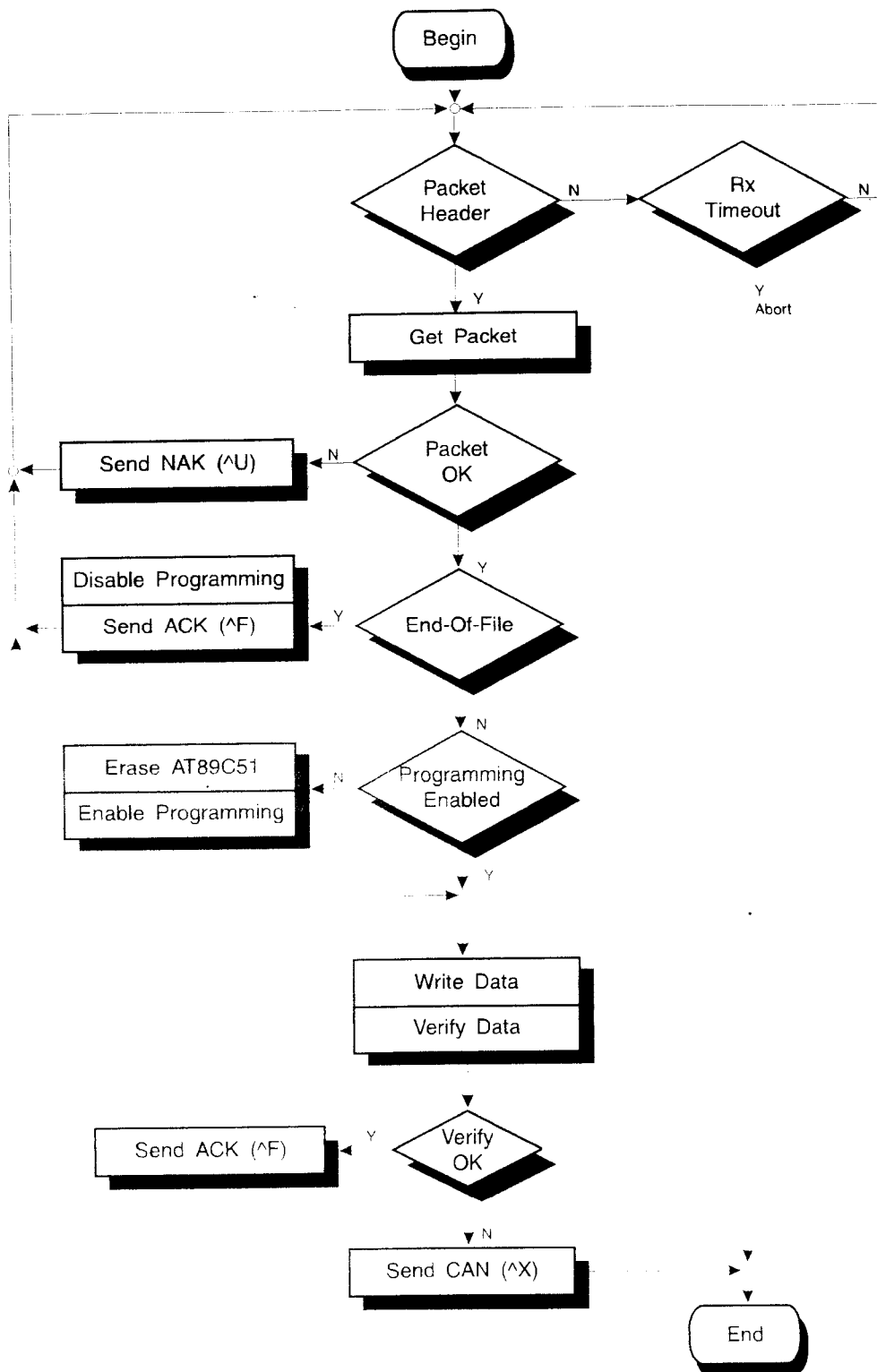


Figure 5. FTP Receive Mode



## Appendix I: Intel Hex File Definition

decimal object file format (Intel hex) is produced by 80C51 assembler products.

A record in the file contains the following fields:

> **rec length><load address><rec type><data><checksum>**

colon is the record header.

record length field consists of two hex digits, and represents the number of entries in the data field. OH outputs records containing 16 or fewer data field entries.

load address field consists of four hex digits, and indicates the absolute address at which the data in the data is to be loaded.

The record type field consists of two hex digits, which are always zero in data records.

The data field contains from one to 16 pairs of hex digits.

The last two hex digits are a checksum on the record length, load address, record type, and data fields. The sum of the binary equivalents of these fields and the checksum itself is zero.

Each record in the file is terminated by a carriage return and line feed.

A type one record marks the end of the file. The record always contains the following value: ':00000001FF'.





National Semiconductor

December 1994

# ADC0801/ADC0802/ADC0803/ADC0804/ADC0805 8-Bit $\mu$ P Compatible A/D Converters

## ADC0801/ADC0802/ADC0803/ADC0804/ADC0805 8-Bit $\mu$ P Compatible A/D Converters

### General Description

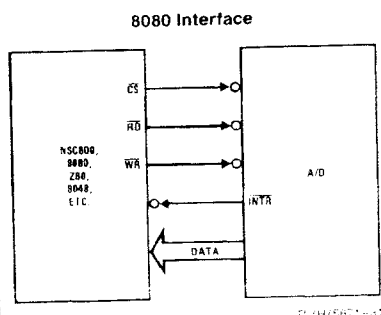
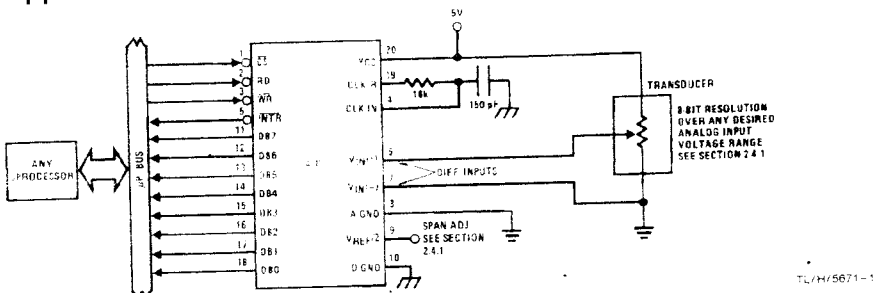
The ADC0801, ADC0802, ADC0803, ADC0804 and ADC0805 are CMOS 8-bit successive approximation A/D converters that use a differential potentiometric ladder similar to the 256R products. These converters are designed to allow operation with the NSC800 and INS8080A derivative control bus with TRI-STATE® output latches directly driving the data bus. These A/Ds appear like memory locations or I/O ports to the microprocessor and no interfacing logic is needed.

Differential analog voltage inputs allow increasing the common-mode rejection and offsetting the analog zero input voltage value. In addition, the voltage reference input can be adjusted to allow encoding any smaller analog voltage span to the full 8 bits of resolution.

### Features

- Compatible with 8080  $\mu$ P derivatives—no interfacing logic needed - access time - 135 ns
- Easy interface to all microprocessors, or operates "stand alone"

### Typical Applications



Error Specification (Includes Full-Scale, Zero Error, and Non-Linearity)			
Part Number	Full-Scale Adjusted	V <sub>REF</sub> /2 = 2.500 V <sub>DC</sub> (No Adjustments)	V <sub>REF</sub> /2 = No Connection (No Adjustments)
ADC0801	$\pm \frac{1}{4}$ LSB		
ADC0802		$\pm \frac{1}{2}$ LSB	
ADC0803	$\pm \frac{1}{2}$ LSB		
ADC0804		$\pm 1$ LSB	
ADC0805			$\pm 1$ LSB

TRI-STATE® is a registered trademark of National Semiconductor Corp.  
Z80® is a registered trademark of Zilog Corp.

©1985 National Semiconductor Corporation TL/H/5671-1

R&D 330M115 Printed in U. S. A.

## Absolute Maximum Ratings (Notes 1 & 2)

If Military/Aerospace specified devices are required,  
please contact the National Semiconductor Sales  
Office/Distributors for availability and specifications.

Supply Voltage (V <sub>CC</sub> ) (Note 3)	6.5V
Voltage	0.3V to +18V
Logic Control Inputs	0.3V to (V <sub>CC</sub> + 0.3V)
At Other Input and Outputs	-0.3V to (V <sub>CC</sub> + 0.3V)
Lead Temp. (Soldering, 10 seconds)	260°C
Dual-In-Line Package (plastic)	300°C
Dual-In-Line Package (ceramic)	300°C
Surface Mount Package	215°C
Vapor Phase (60 seconds)	220°C
Infrared (15 seconds)	

Storage Temperature Range	65°C to +150°C
Package Dissipation at T <sub>A</sub> = 25°C	875 mW
ESD Susceptibility (Note 10)	800V

## Operating Ratings (Notes 1 & 2)

Temperature Range	T <sub>MIN</sub> ≤ T <sub>A</sub> ≤ T <sub>MAX</sub>
ADC0801/02LJ, ADC0802LJ/883	55°C ≤ T <sub>A</sub> ≤ +125°C
ADC0801/02/03/04L.CJ	40°C ≤ T <sub>A</sub> ≤ +85°C
ADC0801/02/03/05LCN	40°C ≤ T <sub>A</sub> ≤ +85°C
ADC0804LCN	0°C ≤ T <sub>A</sub> ≤ +70°C
ADC0802/03/04LCV	0°C ≤ T <sub>A</sub> ≤ +70°C
ADC0802/03/04LCWM	0°C ≤ T <sub>A</sub> ≤ +70°C
Range of V <sub>CC</sub>	4.5 V <sub>DC</sub> to 6.3 V <sub>DC</sub>

## Electrical Characteristics

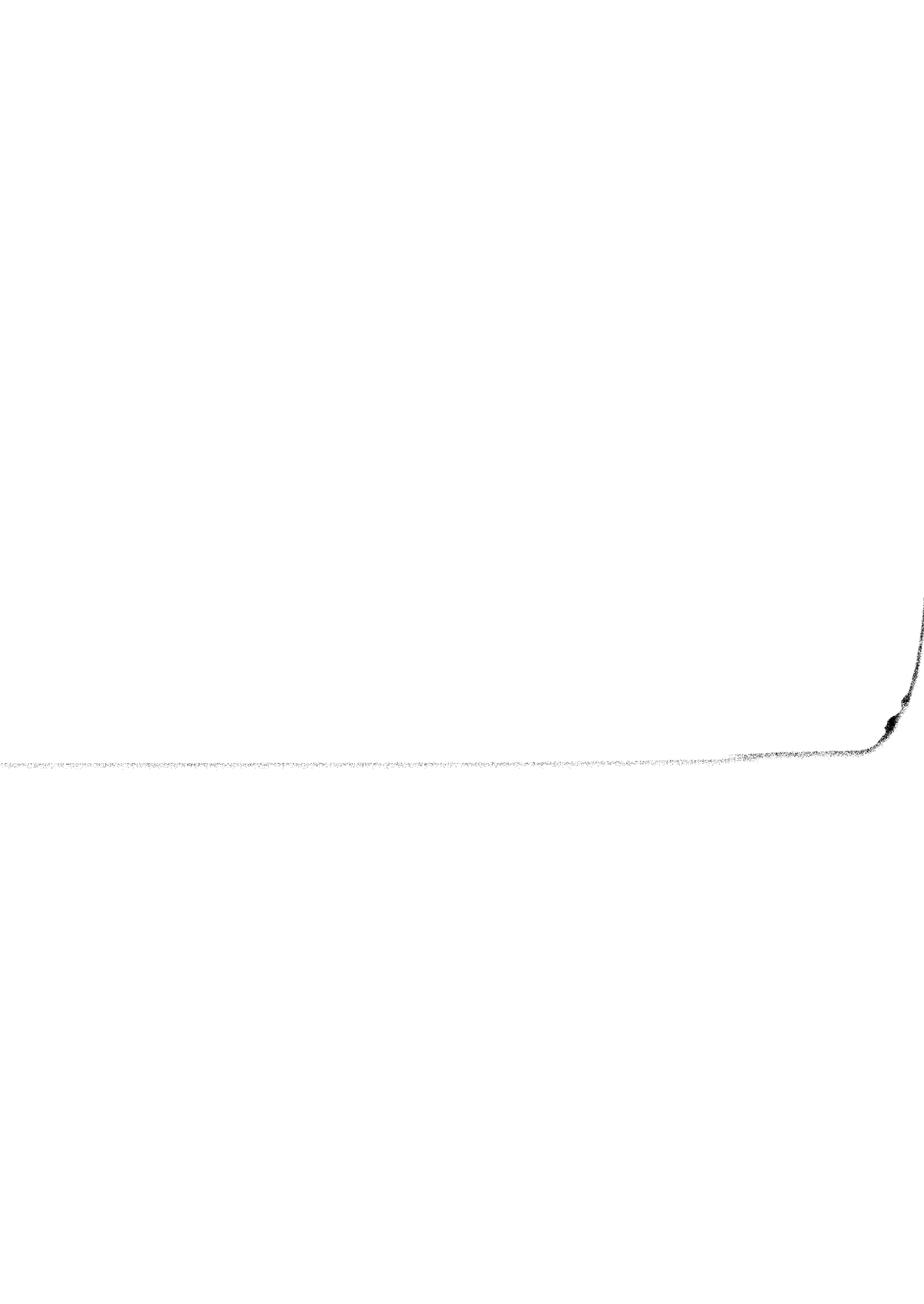
The following specifications apply for V<sub>CC</sub> = 5 V<sub>DC</sub>, T<sub>MIN</sub> ≤ T<sub>A</sub> ≤ T<sub>MAX</sub> and f<sub>CLK</sub> = 640 kHz unless otherwise specified.

Parameter	Conditions	Min	Typ	Max	Units
ADC0801: Total Adjusted Error (Note 8)	With Full-Scale Adj. (See Section 2.5.2)			+ 1/4	LSB
ADC0802: Total Unadjusted Error (Note 8)	V <sub>REF</sub> /2 = 2.500 V <sub>DC</sub>			+ 1/2	LSB
ADC0803: Total Adjusted Error (Note 8)	With Full-Scale Adj. (See Section 2.5.2)			+ 1/2	LSB
ADC0804: Total Unadjusted Error (Note 8)	V <sub>REF</sub> /2 = 2.500 V <sub>DC</sub>			+ 1	LSB
ADC0805: Total Unadjusted Error (Note 8)	V <sub>REF</sub> /2-No Connection			+ 1	LSB
V <sub>REF</sub> /2 Input Resistance (Pin 9)	ADC0801/02/03/05 ADC0804 (Note 9)	2.5 0.75	8.0 1.1		kΩ
Analog Input Voltage Range	(Note 4) V(+) or V(-)	Gnd -0.05		V <sub>CC</sub> + 0.05	V <sub>DC</sub>
DC Common-Mode Error	Over Analog Input Voltage Range		+ 1/6	+ 1/8	LSB
Power Supply Sensitivity	V <sub>CC</sub> = 5 V <sub>DC</sub> ± 10% Over Allowed V <sub>IN</sub> (+) and V <sub>IN</sub> (-) Voltage Range (Note 4)		+ 1/20	+ 1/20	LSB

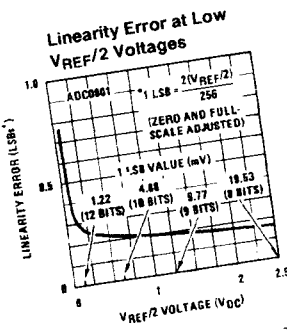
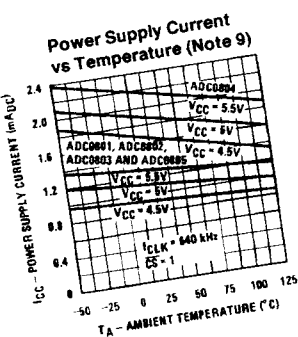
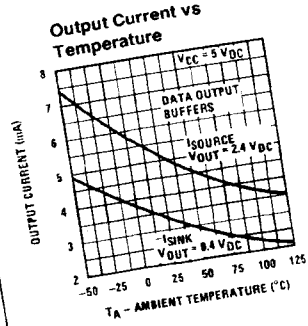
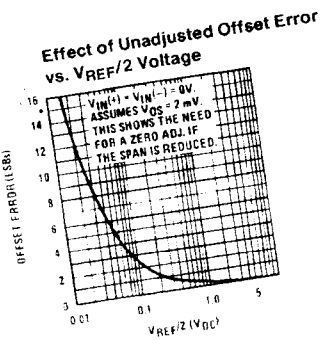
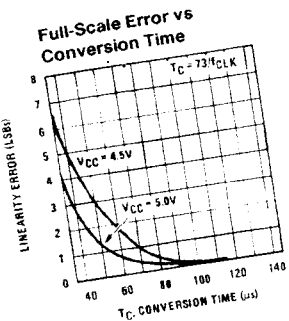
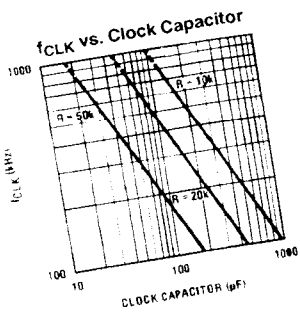
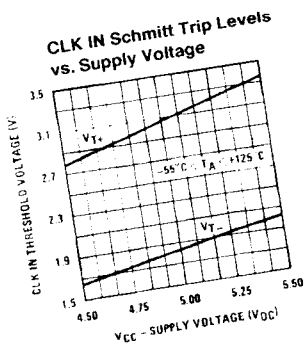
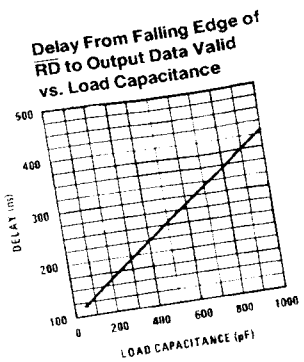
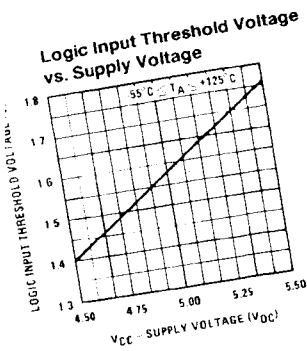
## AC Electrical Characteristics

The following specifications apply for V<sub>CC</sub> = 5 V<sub>DC</sub> and T<sub>A</sub> = 25°C unless otherwise specified.

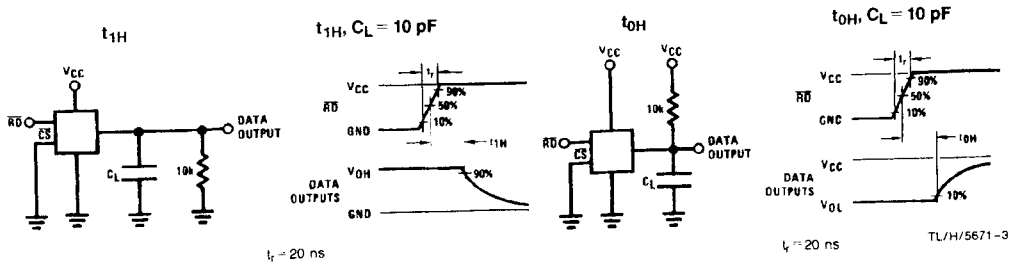
Symbol	Parameter	Conditions	Min	Typ	Max	Units
T <sub>C</sub>	Conversion Time	f <sub>CLK</sub> = 640 kHz (Note 6)	103		114	μs
T <sub>C</sub>	Conversion Time	(Note 5, 6)	66		73	1/f <sub>CLK</sub>
f <sub>CLK</sub>	Clock Frequency	V <sub>CC</sub> = 5V, (Note 5)	100	640	1460	kHz
	Clock Duty Cycle	(Note 5)	40		60	%
CR	Conversion Rate in Free-Running Mode	INTR tied to WR with CS = 0 V <sub>DC</sub> , f <sub>CLK</sub> = 640 kHz	8770		9708	conv/s
t <sub>W(WR)l</sub>	Width of WR Input (Start Pulse Width)	CS = 0 V <sub>DC</sub> (Note 7)	100			ns
t <sub>ACC</sub>	Access Time (Delay from Falling Edge of RD to Output Data Valid)	C <sub>L</sub> = 100 pF		135	200	ns
t <sub>1H</sub> , t <sub>0H</sub>	TRI-STATE Control (Delay from Rising Edge of RD to Hi-Z State)	C <sub>L</sub> = 10 pF, R <sub>L</sub> = 10k (See TRI-STATE Test Circuits)		125	200	ns
t <sub>WI</sub> , t <sub>RI</sub>	Delay from Falling Edge of WR or RD to Reset of INTR			300	450	ns
C <sub>IN</sub>	Input Capacitance of Logic Control Inputs			5	7.5	pF
C <sub>OUT</sub>	TRI-STATE Output Capacitance (Data Buffers)			5	7.5	pF
CONTROL INPUTS [Note: CLK IN (Pin 4) is the input of a Schmitt trigger circuit and is therefore specified separately]						
V <sub>IN</sub> (1)	Logical "1" Input Voltage (Except Pin 4 CLK IN)	V <sub>CC</sub> = 5.25 V <sub>DC</sub>	2.0		15	V <sub>DC</sub>



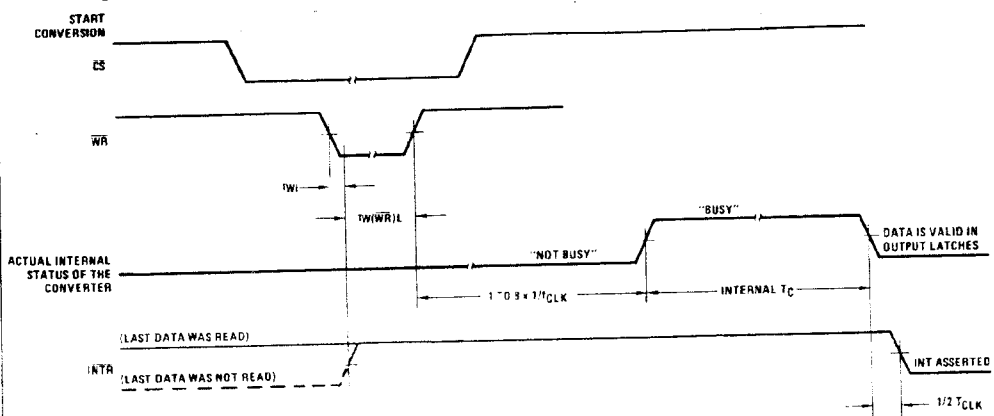
## Physical Performance Characteristics



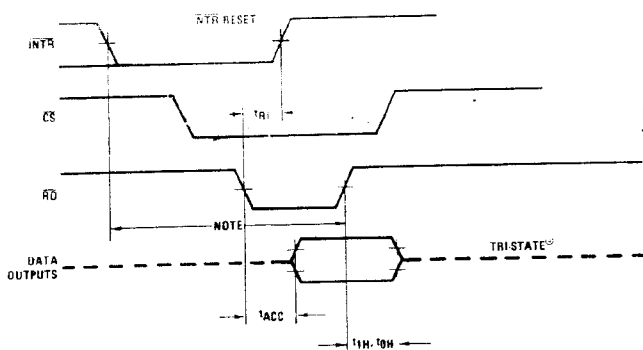
## TRI-STATE Test Circuits and Waveforms



## Timing Diagrams (All timing is measured from the 50% voltage points)



## Output Enable and Reset INTR



TL/H/5671-4

Note: Read strobe must occur 8 clock periods ( $8 \cdot t_{1/2\text{CLK}}$ ) after assertion of interrupt to guarantee reset of INTR.